



เครื่องควบคุมอินตักซ์มอเตอร์เฟสเดียว
SINGLE PHASE INDUCTION MOTOR SPEED CONTROLLER



ปริญญานิพนธ์นี้เป็นส่วนหนึ่งของการศึกษาตามหลักสูตรปริญญาวิศวกรรมศาสตรบัณฑิต
ภาควิชาเทคโนโลยีการวัดคุมทางอุตสาหกรรม
สถาบันเทคโนโลยีพระจอมเกล้าเจ้าคุณทหารลาดกระบัง
ปีการศึกษา 2534

ปริญญาโท ปีการศึกษา 2534

ภาควิชา เทคโนโลยีการวัดคุมทางอุตสาหกรรม
สาขาวิชา เทคโนโลยีการวัดคุมทางอุตสาหกรรม

คณะวิศวกรรมศาสตร์ สถาบันเทคโนโลยีพระจอมเกล้า เจ้าคุณทหารลาดกระบัง

เรื่อง
เครื่องควบคุมอินดักชันมอเตอร์เฟสเดียว
SINGLE PHASE INDUCTION MOTOR SPEED CONTROLLER

ผู้จัดทำ

1. นายจุกา มลิวัลย์ 33.161204

2. นายสมบัติ ศิลสังวรณ 33.161130

.....
.....อาจารย์ที่ปรึกษา

เอกสารนี้เป็นเอกสารที่สงวนไว้สำหรับอาจารย์สั่งทำของอาจารย์ผู้สอนให้นำไปใช้ประโยชน์ด้านการค้า
ไม่ว่ากรณีใดๆทั้งสิ้น อีกทั้งห้ามมิให้ดัดแปลงเนื้อหา และต้องอ้างอิงถึงเจ้าของเอกสารทุกครั้งที่มีการนำไปใช้

หัวข้อปริญญานิพนธ์

เครื่องควบคุมความเร็วอินดักชันมอเตอร์

นักศึกษา

นายจกตา มลิวัลย์

นายลมบัติ คิลสังวรรณ

ระดับการศึกษา

อุตสาหกรรมศาสตรบัณฑิต

เทคโนโลยีการวัดคุมทางอุตสาหกรรม

ปีการศึกษา

พ.ศ. 2534

บทคัดย่อ

โครงการวิจัยนี้กล่าวถึง การควบคุมความเร็วมอเตอร์กระแสสลับชนิดเหนี่ยวนำ
หนึ่งเฟส 1/4 แรงม้า ซึ่งได้สร้างและทำการทดลองด้วยวิธีการควบคุม ความถี่ของไฟที่ป้อน
ให้มอเตอร์ ทั้งนี้ได้นำเสนอขั้นตอนต่างๆในการทดสอบ รายละเอียดของวงจร ตลอดจนคุณ
สมบัติต่างๆของวงจรอันจะเป็นประโยชน์ในการพัฒนาต่อไป

จากโครงงานทั้งหมดได้แบ่งการศึกษาเป็น 2 ส่วนคือ

1. โครงงานภาคแรกเป็นการออกแบบสร้าง วงจรควบคุมความเร็วมอเตอร์ซึ่ง
ประกอบด้วยวงจรหลัก 3 วงจร

1.1 ภาค oscillator เป็นวงจร rc phase shifter oscillator

1.2 ภาค pulse width modulation

1.3 ภาค protection transistor และ drive moter

2. โครงงานภาคที่ 2 ประกอบไปด้วย การดัดแปลงมอเตอร์เป็น 2 เฟสและ
สามารถกลับทิศทางการหมุนได้ ภาคแสดงผลเป็นตัวเลข ภาค protection และสา
มารถนำไปใช้งานกับมอเตอร์กระแสสลับได้จริง

เอกสารนี้เป็นเอกสารที่สงวนไว้สำหรับการใช้งานเพื่อการศึกษาเท่านั้น ไม่อนุญาตให้นำไปใช้ประโยชน์ด้านการค้า
ไม่ว่ากรณีใดๆทั้งสิ้น อีกทั้งห้ามมิให้ดัดแปลงเนื้อหา และต้องอ้างอิงถึงเจ้าของเอกสารทุกครั้งที่มีการนำไปใช้

Thesis Title

SINGLE PHASE INDUCTION MOTOR SPEED CONTROLLER

Name

CHUTA MALIWAN
SOMBAT SINSONGWON

Thesis Advisor

SINGTONG PATTANASETTHANON

Curriculum

BACHELOR DEGREE OF INDUSTRIAL TECHNOLOGY
IN INDUSTRIAL INSTRUMENTATION TECHNOLOGY

Academic Year

1991

Abstract

This research mentions to the single phase induction motor speed controlling. It is produced by controlling the frequency of PWM (pulse width modulation) pulses to motor.

This project is classified to two part. The first one talk about designing the control unit. It consists of three main circuits; oscillator circuit; PWM circuit ; transistor protection and inverter circuits.

The second one talk about three main circuit ; display circuit.; softstart and protection ; the new mosfet inverter.

When we make together, it can be drive motor completely.

เอกสารนี้เป็นเอกสารที่สงวนไว้สำหรับการใช้งานเพื่อการศึกษาเท่านั้น ไม่นอนุญาตให้นำไปใช้ประโยชน์ด้านการค้า
ไม่ว่ากรณีใดๆทั้งสิ้น อีกทั้งห้ามมิให้ตัดแปลงเนื้อหา และต้องอ้างอิงถึงเจ้าของเอกสารทุกครั้งที่มีการนำไปใช้

บทนำ

การใช้มอเตอร์เหนี่ยวนำเฟสเดียว นิยมใช้กันมาก เพราะมอเตอร์ชนิดนี้ราคาถูก แข็งแรง และ บำรุงรักษาบ่อย แต่อย่างไรก็ตามในกรณีต้องการเปลี่ยนแปลงความเร็วมากๆ โดยให้มีแรงบิดคงที่นั้น เราไม่สามารถปรับแฉะแรงดันเข้าของมอเตอร์ได้ แต่จะต้องปรับความถี่ให้เหมาะสมด้วย เพื่อให้ค่าอัตราส่วนระหว่างแรงดันและความถี่ที่ สำคัญสำหรับมอเตอร์กำลังต่ำนั้นอาจใช้อินเวอเตอร์แบบทรานซิสเตอร์หรือใช้มอสเฟส ก็ได้ ซึ่งทั้งสองแบบก็มีข้อดีแตกต่างกันไป

วงจรที่นำมาใช้ในที่นี้เป็นอินเวอเตอร์แบบ pwm ที่ใช้ทรานซิสเตอร์และปรับปรอง เป็นแบบ มอสเฟส เพราะสามารถลดปัญหาการทำงานพร้อมกันได้ซึ่งเป็นสาเหตุที่ทำให้ ทรานซิสเตอร์กำลังเสียหาย

โครงการนี้กล่าวถึงหลักการออกแบบวงจร pwm , วงจรอินเวอเตอร์และ ลมรรถภาพต่างๆ

สารบัญ

	บทคัดย่อ.....	1
	Abstract.....	2
บทที่ 1	บทนำ.....	3
บทที่ 2	ทฤษฎีเบื้องต้น.....	5
	2.1 มอเตอร์เฟสเดียว.....	6
	2.2 มอเตอร์ 2 เฟส.....	17
	2.3 power mosfet.....	21
	2.4 การลด harmonics.....	29
บทที่ 3	ภาคปฏิบัติ.....	30
	3.1 R _c phase shifter variable sinusoidal oscillator.....	32
	3.2 Pwm.....	42
	3.3 ภาค control.....	48
	3.4 อินเวิตเตอร์และภาค drive 1).....	49
	3.5 อินเวิตเตอร์และภาค drive 2).....	57
	3.6 soft start.....	59
	3.7 ภาค protection และ ภาค แสดงผล.....	61
	3.8 คู่มือการใช้เครื่อง.....	64
บทที่ 4	ผลการทดลองและสรุปงานวิจัย.....	65
	กิตติกรรมประกาศ.....	71
	เอกสารอ้างอิง.....	72

เอกสารนี้เป็นเอกสารที่สงวนไว้สำหรับการใช้งานเพื่อการศึกษาเท่านั้น ไม่อนุญาตให้นำไปใช้ประโยชน์ด้านการค้า
ไม่ว่ากรณีใดๆทั้งสิ้น อีกทั้งห้ามมิให้ตัดแปลงเนื้อหา และต้องอ้างอิงถึงเจ้าของเอกสารทุกครั้งที่มีการนำไปใช้



เอกสารนี้เป็นเอกสารที่สงวนไว้สำหรับการใช้งานเพื่อการศึกษาเท่านั้น ไม่อนุญาตให้นำไปใช้ประโยชน์ด้านการค้า
ไม่ว่ากรณีใดๆทั้งสิ้น อีกทั้งห้ามมิให้ตัดแปลงเนื้อหา และต้องอ้างอิงถึงเจ้าของเอกสารทุกครั้งที่มีการนำไปใช้

มอเตอร์เหนี่ยวนำเฟสเดียว (single phase induction motors)

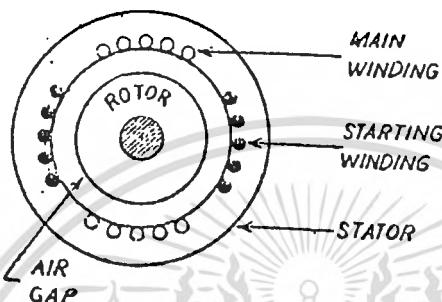
มอเตอร์เหนี่ยวนำเฟสเดียว เป็นมอเตอร์ที่มีโครงสร้างและหลักการทำงานในการที่ทำให้มันหมุนได้คล้ายกับมอเตอร์เหนี่ยวนำหลายเฟส จะแตกต่างกันตรงที่ตัวอยู่กับที่ที่มีการพันขดลวดเป็นแบบเฟสเดียวและได้รับไฟจากไฟเฟสเดียวกันด้วย ดังนั้นจึงทำให้เกิดสนามแม่เหล็กสลับกันไปมาซึ่งตัวอยู่กับที่ซึ่งไม่ใช่สนามแม่เหล็กที่ความเร็ว synchronous เหมือนอย่างกับพวกที่มีการพันแบบสองเฟสหรือสามเฟส จากเหตุผลนี้จึงทำให้เส้นแรงแม่เหล็กที่สลับไปมานี้ไม่สามารถที่จะทำให้เกิดแรงหมุนขึ้นได้ในขณะที่ตัวหมุนยังหยุดอยู่ นี่คือเหตุผลว่าทำไมมอเตอร์เฟสเดียวจึงไม่มีแรงบิดเริ่มแรกในตัวของมันเอง

อย่างไรก็ดีถ้าหากว่าตัวหมุนถูกทำให้หมุนไปด้วยมือหรือวิธีการใดในทิศทางใดทิศทางหนึ่งแล้วช่วยทำให้เกิดแรงบิดและอัตราเร่งเกิดขึ้นกับมอเตอร์นั้นจนกระทั่งมีความเร็วเต็มที่

ตัวหมุน (rotor) ของมอเตอร์แบบนี้ส่วนใหญ่เป็นแบบกรงกระรอก (squirrel cage) ส่วนทางตัวอยู่กับที่นั้นจะมีการพันขดลวดตัวนำฉุดแยกแตกต่างกันไปบ้างแล้วแต่ชนิดของมอเตอร์ การที่กล่าวว่ามอเตอร์เฟสเดียวมีโครงสร้างและหลักการทำงานในการที่ทำให้มันหมุนได้คล้ายกับมอเตอร์เหนี่ยวนำหลายเฟสนั้นหมายความว่ามอเตอร์แบบนี้มีทั้งตัวอยู่กับที่และตัวหมุน โดยที่ตัวอยู่กับที่นั้นจะมีการพันขดลวดเพื่อทำให้เกิดสนามแม่เหล็กหมุนในช่วงเริ่มแรกหรือมีอยู่ตลอดไปได้โดยอาศัยอุปกรณ์ช่วยอื่นๆ เช่น ขดเริ่มทำให้หมุน (starting winding) หรือตัวประจ (capacitor) ต่อร่วมกับขดทำให้หมุนหรืออาจทำให้เกิดสนามแม่เหล็กเลื่อนหรือเคลื่อนที่ไปรอบหรือเคลื่อนที่ไปรอบหรือเกิดสนามแม่เหล็กโดยอาศัยคุณสมบัติของตัวอยู่กับที่ร่วมกันได้ ส่วนตัวหมุนนั้นก็อาจเป็นโครงกรงกระรอกหรือไม่เป็นก็ได้แต่ก็ต้องเป็นตัวที่จะทำ

มอเตอร์ที่แยกเฟสออกจากกัน (split phase motor) โครงสร้างของมอเตอร์

ประกอบด้วย



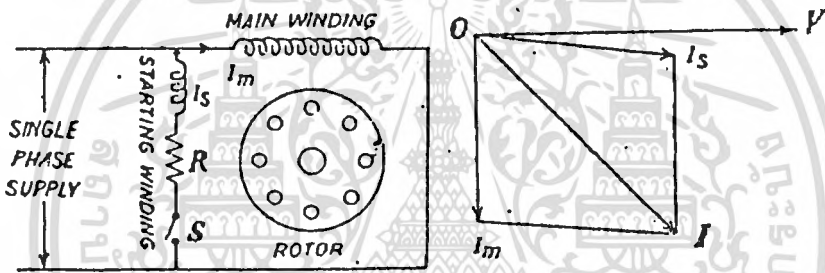
1. ตัวที่อยู่ภายใน (stator) มีขดลวดอยู่ 2 ชุด ชุดหนึ่งมีไว้สำหรับใช้งานตามปรกติ เรียกว่าชุดสำหรับวิ่ง (running winding or main winding) ชุดขดลวดชุดนี้มีความต้านทานต่ำแต่ reactance สูงกว่าชุดสำหรับทำให้มอเตอร์หมุน โดยที่มีขนาดเส้นลวดที่ใหญ่กว่าชุดหมุน ชุดสำหรับวิ่งหรือใช้งานนี้เป็นชุดหลักที่มีไฟผ่านอยู่ตลอดเวลา ไม่ว่าจะเริ่มหมุนที่แรกหรือว่าขณะทำงานปรกติ ชุดที่สองเป็นชุดสำหรับเริ่มทำให้หมุน (starting winding) ขดลวดชุดนี้พันไว้ที่ตัวอยู่กับที่เช่นกัน แต่ว่าให้ลิ่งในช่อง (slot) เป็นมุมห่างไปจากชุดหลัก 90° ไฟฟ้า ทั้งนี้เพื่อทำให้เกิดสนามแม่เหล็กหมุนขึ้นในขณะเริ่มแรกชุดนี้มีความต้านทานของขดลวดตัวนำสูงแต่ reactance ต่ำและเส้นลวดมีขนาดเล็กขดลวดชุดนี้ต่ออนุกรมกับสวิตช์หนีศูนย์กลาง (centrifugal switch) แล้วจึงนำไปต่อขนานกับชุดสำหรับวิ่ง ถ้าไม่ใช้สวิตช์หนีศูนย์กลางก็อาจใช้ relay เป็นตัวตัดขดเริ่มทำให้หมุนหรือขดช่วยทำให้หมุน (starting winding or auxiliary winding) ก็ได้ ดังเช่นที่ใช้กับมอเตอร์อัดน้ำยา (compressor) ของตู้เย็นหรือเครื่องปรับอากาศก็ได้ โดยปรกติแล้วมอเตอร์ที่ใช้อัดน้ำยาของตู้เย็นหรือเครื่องปรับอากาศที่ใช้กับไฟเฟสเดียวนี้จะใช้ตัวประจูด้อยด้วย ซึ่งจะได้กล่าวอีกทีหนึ่ง

เอกสารนี้เป็นเอกสารที่สงวนไว้สำหรับการใช้งานเพื่อการศึกษาเท่านั้น ไม่อนุญาตให้นำไปใช้ประโยชน์อื่นใด
 2. ตัวหมุน (rotor) เป็นแบบกรงกระรอกธรรมดาซึ่งอาจจะมี 2 กรงซ้อนกันหรือไม่วกรณีใดๆทั้งสิ้น อีกทั้งห้ามมิให้ตัดแปลงเนื้อหา และต้องอ้างอิงถึงเจ้าของเอกสารทุกครั้งที่มีการนำไปใช้

กรงเดี่ยวก็ได้แล้วแต่จุดประสงค์ของการใช้งาน ตัวนำที่ฝังอยู่ในตัวหมนเป็นรูปกรงกระรอกนี้ อาจจะมีเฉียงๆ (skew) ก็ได้ ที่แกนของตัวหมนมีลวดหุ้มชั้นศูนย์กลางติดอยู่ด้วย ทั้งนี้เพื่อตัด ขดเริ่มทำให้หมนออกไปหลังจากที่มอเตอร์มีความเร็วประมาณ 75 % ของ synchronous

วงจรของมอเตอร์ชนิดนี้ได้ ดังรูป จะพบว่ามีความต้านทานที่มีค่าลงอีก 1 ตัวต่ออนุกรม เข้ากับขดทำให้หมน (starting winding) ความต้านทานนี้อาจไม่ต้องใช้ก็ได้ ถ้าหากว่า

ความต้านทานของขดเริ่มทำให้หมนมีค่าสูงพอ



จากคุณลักษณะของขดลวดทั้งสองที่กล่าวมาแล้ว จึงทำให้กระแส I_s และ I_m มีมุมแตกต่างกันเกือบ 90° ดังรูป กระแส I_m มาทีหลัง (lag) แรงเคลื่อนไฟฟ้า V ไปเป็นมุมเล็กน้อย ทั้งนี้เพราะค่าความต้านทานสูงกว่าค่า reactance มาก ฉะนั้นจึงทำให้กระแส I_s เกือบเท่ากับ V แต่กระแส I_m อันเนื่องมาจากขดหลัก (main winding) นั้นมีค่าความต้านทานต่ำแต่ reactance สูง ดังนั้นจึงทำให้ I_m มาทีหลัง V เกือบ 90° เมื่อเป็นเช่นนี้จึงทำให้เกิดสนามแม่เหล็กหมนขึ้น เพื่อใช้ในการเริ่มหมนของมอเตอร์ ลวดลวดหุ้มชั้นศูนย์กลาง S นี้จะทำหน้าที่ตัดไฟของขดเริ่มหมน (starting winding) ออกไป หลังจากที่มีมอเตอร์วิ่งได้เกือบใกล้ความเร็ววิกฤต หรือประมาณที่ 75 % ของความเร็วที่ synchronous

มอเตอร์แบบนี้มีแรงบิดเริ่มแรกประมาณ 1 ถึง 2 เท่าของแรงบิดที่วิกฤต โดยใช้กระแสเริ่มแรกตั้งแต่ 5 ถึง 7 เท่า ของกระแสที่วิกฤต จึงทำให้เหมาะสมในการใช้งานกับเครื่องกลึงชนิดเล็ก ตัวแยกโดยอาศัยแรงเหวี่ยงศูนย์กลาง (centrifugal separators) และตัวเป่าเอกสารนี้เป็นเอกสารที่สุ่มใช้ในการรับภาระใช้งานเพื่อการศึกษาเท่านั้น ไม่อนุญาตให้นำไปใช้ประโยชน์ด้านการค้า (blower) เหล่านี้ เป็นต้น

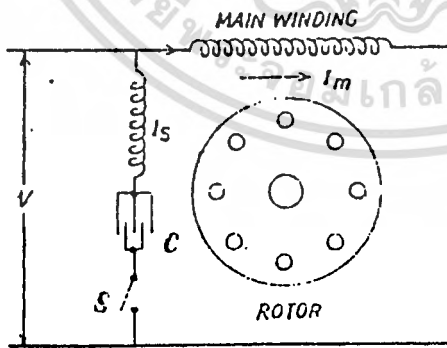
ไม่ว่ากรณีใดๆทั้งสิ้น อีกทั้งห้ามมีให้ตัดแปลงเนื้อหา และต้องอ้างอิงถึงเจ้าของเอกสารทุกครั้งที่มีการนำไปใช้



ทิศทางการหมุนของมอเตอร์เหล่านี้กลับทิศได้โดยการสลับขั้วต่อไฟของขดใดขดหนึ่งจาก 2 ขดนั้น (แต่ไม่ใช่สลับทั้งสองขด) หลังจากนั้นจึงจ่ายไฟกับขดทั้งสอง ก็จะทำให้มอเตอร์ หมุนกลับทิศ มอเตอร์แบบนี้บางที่เรียกว่า " มอเตอร์ที่เริ่มหมุนโดยใช้ความต้านทาน " นอกจากมอเตอร์ที่กล่าวข้างบนแล้ว ยังมีมอเตอร์แบบแยกเฟสที่อาศัย capacitor-start capacitor run ดังนั้นเพื่อแยกให้เห็นถึงความแตกต่างของมอเตอร์ทั้งสองชนิดนี้จึงแยกได้ดังต่อไปนี้

มอเตอร์ชนิดเริ่มหมุนด้วยตัวประจุและวิ่งด้วยการเหนี่ยวนำ (capacitor start

induction-run motor) มอเตอร์แบบนี้มีโครงสร้างคล้ายกันกับแบบแรกต่างกันที่ว่า มอเตอร์แบบนี้ทำให้กระแส I_s และ I_m มีเฟสแยกกันโดยใช้ตัวประจุหรือตัวควบแน่น (capacitor or condenser) ต่ออนุกรมเข้ากับขดเริ่มทำให้หมุน (starting winding) ดังรูปตัวประจุไฟฟ้าที่ใช้เป็นชนิดสารละลาย (eletrolytic) ดังนั้นจึงต้องต่อขั้วบวกและลบให้ถูกต้องด้วย ตัวเก็บประจุนี้จะโดนตัดออกโดยสวิตช์หนัศูนย์-กลางหลังจากที่มันมีความเร็วประมาณ 75 % ของความเร็วที่ synchronous ตัวประจุนี้ตัดออกที่เปลี่ยนหรือแยกออกต่างหากจากตัวมอเตอร์ก็ได้

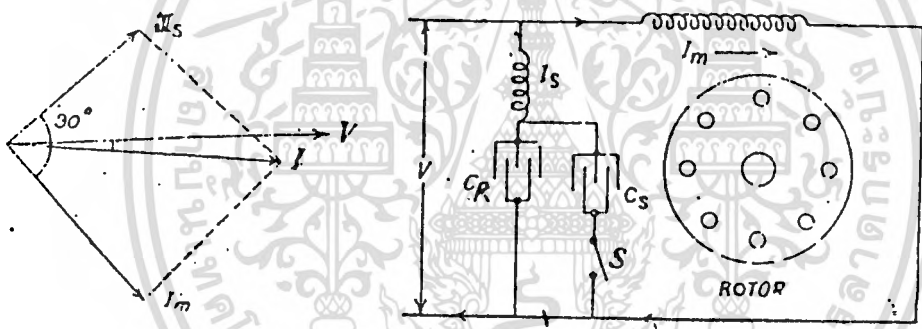


กระแส I_m นี้มาที่หลัง V เป็นมมใหญ่มมหนึ่งในขณะเดียวกัน I_s มาก่อน V เป็นมมเช่นกัน ดังนั้นจึงทำให้ได้กระแสล้น I เกือบเท่ากับ V ดังนั้นจึงทำให้แรงบิดเริ่มแรกสูง ซึ่งทำให้เหมาะสมที่จะนำไปขับตัวอัด (compressor) บ่มเครื่องผสมเหนียว (dough mixers) และอื่นๆ เอกสารนี้เป็นเอกสารที่สงวนไว้สำหรับการใช้งานเพื่อการศึกษาเท่านั้น ไม่อนุญาตให้นำไปใช้ประโยชน์ด้านการค้า ไม่ว่ากรณีใดๆทั้งสิ้น อีกทั้งห้ามมิให้ตัดแปลงเนื้อหา และต้องอ้างอิงถึงเจ้าของเอกสารทุกครั้งที่มีการนำไปใช้

มอเตอร์ชนิดที่ใช้ตัวประจุทั้งในขณะเริ่มแรกและในขณะวิ่งหรือทำงานตามปกติ

(capacitor start capacitor run motor) มอเตอร์แบบนี้มีตัวประจุไฟ 2 ตัว คือ C_s, C_r ตัว C_s ซึ่งใช้เป็นตัวทำให้มอเตอร์เริ่มหมุนนี้ มีความจเกือบ 3 เท่าของ C_r ซึ่งใช้สำหรับวิ่งและเป็นตัวประจุแบบ paper ตัว C_s นี้จะโดนตัดออกไปโดยอัตโนมัติ หลังจากที่มอเตอร์หมุนได้ใกล้เคียงความเร็วที่พิกัด ในการตัด C_s นี้ นอกจากใช้

ลิวิตซ์หนึ่ศนย์กลางเป็นตัวตัดแล้ว ก็อาจใช้ current coil relay เป็นตัวตัดโดยการ ใช้ C_r ที่เหมาะสมจึงทำให้กระแส I_s และ I_m แตกต่างกันเกือบ 90° ซึ่งทำให้เหมือนกับว่ามอเตอร์นั้นได้รับไฟจาก 2 เฟส



ข้อดีของการต่อตัวประจุขนาดเล็กไว้ในวงจรของมอเตอร์ก็คือ

1. ทำให้สามารถทน over load ได้ดีขึ้น
2. มีตัวประกอบกำลัง (p.f.) สูงขึ้นกว่าเดิม
3. ทำให้วิ่งได้เงียบกว่าซึ่งเป็นสิ่งที่ปรารถนามากในการใช้ในห้องทดลอง

ค่าสลิปและความถี่ของกระแสตัวหมุน

ได้มีการกำหนดค่าจำกัดความเร็วซึ่งโครนสมอเตอร์ ; N_s

$$N_s = 120f/P$$

เมื่อ f คือ ความถี่ของไฟที่ป้อน

เอกสารนี้เป็นเอกสารที่สงวนไว้สำหรับการใช้งานเพื่อการศึกษาเท่านั้น ไม่อนุญาตให้นำไปใช้ประโยชน์ด้านการค้า ไม่ว่าจะกรณีใดๆทั้งสิ้น อีกทั้งห้ามมิให้ดัดแปลงเนื้อหา และต้องอ้างอิงถึงเจ้าของเอกสารทุกครั้งที่มีการนำไปใช้

P คือ จำนวนขั้วของแม่เหล็กที่ตัวอยู่กับที่
 ความเร็วที่สภาวะใดๆ สามารถเขียนเป็นความสัมพันธ์กับความเร็วจึง-

โครนัส ดังนี้คือ

$$N_r = (1-s)N_s \quad ; \quad s \text{ คือ สลิป} \quad ; \quad s = (N_s - N_r) / N_s$$

สภาวะที่มอเตอร์หยุดนิ่ง สนามแม่เหล็กหมุนที่เกิดจากตัวอยู่กับที่จะมีความเร็วสัมพันธ์เท่ากับความเร็วของสนามแม่เหล็กที่ตัวอยู่กับที่ ดังนั้นภาวะนี้ความถี่ของกระแสที่ตัวอยู่กับที่จะมีค่าเท่ากับความถี่ของกระแสที่ตัวหมุน ที่สภาวะที่ความเร็วเชิงโครนัสที่สภาวะนี้ โรเตอร์จะให้หมนและ ความถี่ของกระแสที่ตัวหมุน จะเป็นศูนย์ที่สภาวะความเร็วใดๆ ความถี่ของกระแสที่ตัวหมุนจะขึ้นอยู่กับค่าสลิป ดังนั้นเราสามารถเขียนสมการของสลิปใหม่ได้ว่า

$$s = \frac{W_s - W_m}{W_s}$$

เมื่อ W = ความเร็วของโรเตอร์ที่ภาวะใดๆ มีหน่วยเป็น rad/sec เราสังเกตเห็นว่า

$$W_s = \frac{W}{2} P$$

เพราะว่าความเร็วสัมพันธ์ระหว่างตัวหมุนและสนามแม่เหล็กหมุนที่เหนี่ยวนำโดยตัวอยู่กับที่เป็น $W_s - W_m$

$$\text{ความเร็วเชิงมุม (} W_r \text{)} = P \cdot (W_s - W_m) / 2$$

$$W_r = s W P / 2 = s W \quad \text{หรือ} \quad f_r = s f$$

f_r = ความถี่ของกระแสที่ตัวหมุน: f = ความถี่ของกระแสที่ตัวอยู่กับที่

วงจรมุมลย์ของมอเตอร์เหนี่ยวนำ

จากหัวข้อที่แล้ว เราพบว่าความถี่ของกระแสที่ตัวหมุน (f_2) ก็คือค่าสลิปคูณกับความถี่ของกระแสที่ตัวอยู่กับที่ (f_1)

$$f_2 = s f_1$$

เราสามารถแสดงค่าของรีแอกแตนซ์ที่ตัวหมุน (x') ที่ความถี่ใดๆ ในเทอมของรีแอกแตนซ์ขณะที่ตัวหมุนอยู่กับที่ได้คือ $x_2' = s x_2$

เอกสารนี้เป็นเอกสารที่สงวนไว้สำหรับครูในชมรมที่จัดการศึกษานานาชาติ ไม่อนุญาตให้นำไปใช้ประโยชน์ด้านการค้าไม่ว่ากรณีใดๆทั้งสิ้น อีกทั้งห้ามมิให้คัดแปลงเนื้อหา และต้องอ้างอิงถึงเจ้าของเอกสารทุกครั้งที่มีการนำไปใช้

สำหรับมอเตอร์เหนี่ยวนำจะได้ศักดาเหนี่ยวนำที่เกิดขึ้นที่ตัวหมั่นคือ

$$E_2' = 4.44 s f n \phi_m = s E_2$$

เราสามารถเขียนไดอะแกรมของวงจรสมมูลได้ดังนี้

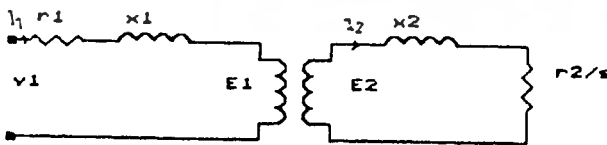


ซึ่งเราสามารถเปลี่ยนแปลงดังรูป ได้โดยผลของสมการต่างๆที่เหมือนเดิม



จากรูปเราสามารถเขียนสมการของกระแสที่ตัวหมั่นได้ คือ

$$I_2 = sE_2' / (\sqrt{r_2^2 + (sX_2)^2}) = E_2 / (\sqrt{(r_2/s)^2 + X_2^2})$$



เพราะเราสามารถมองมอเตอร์แบบเหนี่ยวนำว่า มีคุณสมบัติเสมือนหม้อแปลง เราจึงสามารถจะเทียบขดลวดปฐมภูมิได้กับตัวอยู่ที่ขณะที่ขดลวดทุติยภูมิเทียบได้กับตัวหมั่นของมอเตอร์หากเพราะหม้อแปลงจะมีการเหนี่ยวนำผ่านแกนเหล็ก ขณะที่มอ-

เตอร์นั้นเหนี่ยวนำผ่านของอากาศทำให้ แมกนิตซึ่งรีแอคแตนซ์ x_m มีค่าน้อยเมื่อเทียบไม่วารกรณีใดๆทั้งสิ้น อีกทั้งยังมีให้ตัดแปลงเนื้อหา และต้องอ้างอิงถึงเจ้าของเอกสารทุกครั้งที่มีการนำไปใช้

กับของหม้อแปลง (ไม่นำมาพิจารณาได้)

- 1) ถ้าจะพิจารณาถึงอัตราส่วนระหว่างตัวหม้อและตัวอยู่กับที่

$$E_2/E_1 = K_w 2 N_2 / K_w 1 N_1$$

$K_w 1$ = แฟคเตอร์การพันของตัวอยู่กับที่

$K_w 2$ = แฟคเตอร์การพันของตัวหม้อ

สำหรับมอเตอร์เหนี่ยวนำที่มีโรเตอร์แบบกรงกระรอก จำนวนขด/เฟส =

$P/4$ เมื่อ P เป็นจำนวนขด/เฟส

- 2) ถ้าพิจารณาถึงแรงทางแม่เหล็ก (magnetomotive force : mmf)

$$F_1 : \text{mmf ที่ตัวอยู่กับที่} = 0.9 m_1 \cdot K_w 1 \cdot n_1 \cdot I_1 / P$$

$$F_2 : \text{mmf ที่ตัวหม้อ} = 0.9 m_2 \cdot K_w 2 \cdot n_2 \cdot I_2 / P$$

m_1, m_2 คือ จำนวนของ phase ที่ตัวหม้อและตัวอยู่กับที่ กรณีที่ phase เดียวกัน $m_1 = m_2 = m$ จากความจริงที่ว่า mmf ที่เหนี่ยวนำตัวหม้อมีค่า = mmf ที่เกิดขึ้นทางตัวอยู่กับที่ เราจะได้ผลตามมาว่า

$$0.9 m_2 K_w 2 n_2 I_2 / P = 0.9 m_1 K_w 1 n_1 I_1 / P$$

$$I_2' = [m_2 K_w 2 n_2 / (m_1 K_w 1 n_1)] I_2$$

ค่าในวงเล็บเราให้ค่าจำกัดความเป็น อัตราการแปลง (transformation ratio) : t เพราะฉะนั้นเขียนได้ว่า

$$I_2' = t (m_2 / m_1) I_2$$

ยิ่งกว่านั้นเรายังทราบอีกว่า โวลท์-แอมป์/เฟส ของตัวอยู่กับที่ ต้องเท่ากับ โวลท์-แอมป์/เฟส ที่ตัวหม้อ

$$\text{เพราะฉะนั้น } m_1 \cdot E_2' I_2' = m_2 \cdot E_2 \cdot I_2$$

$$E_2' = (K_w 1 / K_w 2) (n_1 / n_2) E_2 = E_1$$

$$E_2' = E_1 = E_2 / t$$

- 3) ถ้าเราพิจารณากำลังสูญเสียจะพบว่าที่ตัวอยู่กับที่และตัวหม้อจะมีค่าเท่ากัน

$$m_1 \cdot I_2'^2 \cdot r_2' = m_2 \cdot i_2^2 \cdot r_2$$

r_2' คือ ความต้านทานที่ตัวหม้อเมื่อแปลงมาอยู่ทางด้านตัวอยู่กับที่.

$$r_2' = (m_1 / m_2) \cdot r_2 / t$$

และพลังงานสะสมทางแม่เหล็กขณะที่ไม่หมุนจะได้เปลี่ยนแปลงนั้นคือ

$$[m_1 L_2' I_2'^2] / 2 = [m_2 \cdot L_2 \cdot I_2^2] / 2$$

เอกสารนี้เป็นเอกสารที่สงวนไว้สำหรับงานเพื่อการศึกษาเท่านั้น ไม่อนุญาตให้นำไปใช้ประโยชน์ด้านการค้า
ไม่ว่ากรณีใดๆ แทนค่า $L = j\omega x$ และต้องอ้างอิงถึงเจ้าของเอกสารทุกครั้งที่มีการนำไปใช้

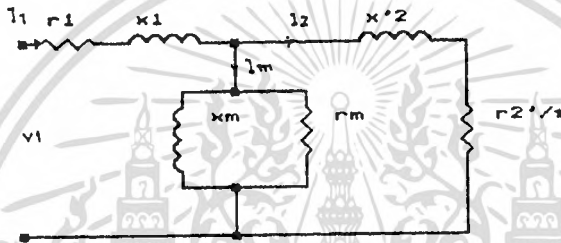
$$x2' = (m11/m2) \cdot x2/t^2$$

เราจึงสรุปได้ว่า

- 1) $E2' = E2/t$: คัดดาตัวหมนเมื่อแปลงไปด้านตัวอยู่กับที่
- 2) $I2' = (m2/m1) I2 \cdot t$: กระแสตัวหมนเมื่อตัวแปลงไปด้านตัวอยู่กับที่
- 3) $r2' = (m1/m2) r2/t^2$: ความต้านทานตัวหมนเมื่อแปลงไปด้านตัวอยู่กับที่
- 4) $x2' = (m1/m2) x2/t^2$: รีแอคแตนซ์ตัวหมนเมื่อแปลงไปด้านตัวอยู่กับที่

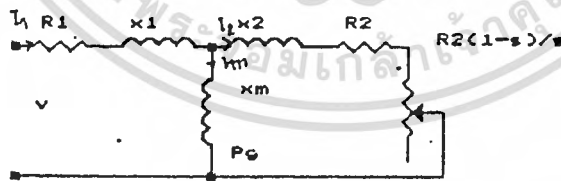
จาก $r2'/s = r2' + r2' \cdot (1-s)/s$

เราสามารถนำวงจรสมมูลย์เดิมมา เขียนใหม่ให้สมบูรณ์ได้เป็น



การทำงานของมอเตอร์เห็นวนาทความถคงที่ จากวงจรสมมูลย์ของมอ-

เตอร์



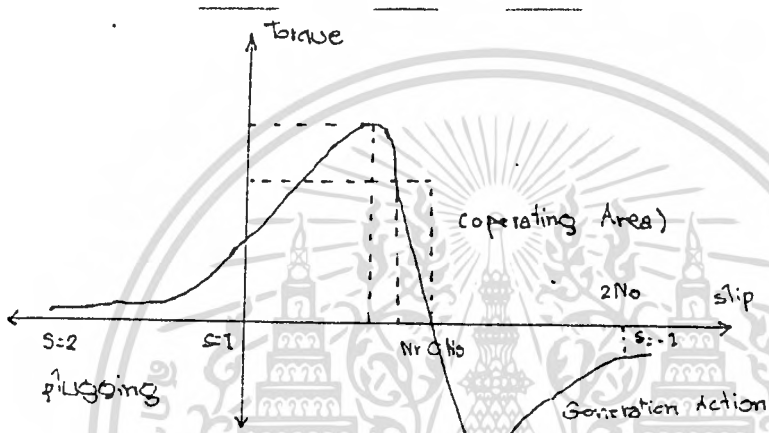
v : คัดดาป้อนเข้า (voltage supply)

$R1$: ความต้านทานที่ตัวอยู่กับที่

$x1$: รีแอคแตนซ์ที่ตัวอยู่กับที่

เอกสารนี้เป็นเอกสารที่สงวนไว้สำหรับครูผู้ใช้งานเพื่อการศึกษาเท่านั้น ไม่อนุญาตให้นำไปใช้ประโยชน์ด้านการค้า
 I1 : กระแสที่ตัวอยู่กับที่
 ไม่ว่าจะผิดใดๆทั้งสิ้น อีกทั้งห้ามมิให้คัดแปลงเนื้อหา และต้องอ้างอิงถึงเจ้าของเอกสารทุกครั้งที่มีการนำไปใช้

- I₂: กระแสที่ตัวหมวน
- I_m: กระแสแม่เหล็ก(magnetizing current)
- X_m: แมกเนไทซิ่ง รีแอคแตนซ์(magnetizing reactance)
- R₂: ความต้านทานที่ตัวหมวน
- R₂(1-s)/s: โหลดสมมูลย์
- s : สลิป (slip)
- P_g: พลังงานที่ช่องอากาศ(air gap power)



TL คือ ทอร์คขณะที่ใช้งาน (rated load torque) เมื่อมอเตอร์มีความเร็ว = Nr ถ้ามอเตอร์มีความเร็วเกิน Ns แล้วมอเตอร์จะวิ่งด้วย slip ที่เป็นลบ และจะทำงานในลักษณะของเครื่องจ่ายไฟ

ถ้ามอเตอร์หมุนกลับทิศทาง slip จะมากกว่า 1 มอเตอร์จะทำงานในย่านนี้ถ้ามีการกลับขั้วภายในตัวมอเตอร์ เครื่องจักรจะหยุด แต่ถ้าเราให้ศักดาป้อนเข้าต่อไปอีกมอเตอร์ก็จะหมุนกลับทิศทางเราเรียกสภาวะนี้ว่า plugging

จากรูป

P_g : พลังงานที่ถ่ายทอดไปยังช่องอากาศ = $3I^2 R/s$

พลังงานสูญเสียในลวดทองแดง(copper loss) : $3I^2$

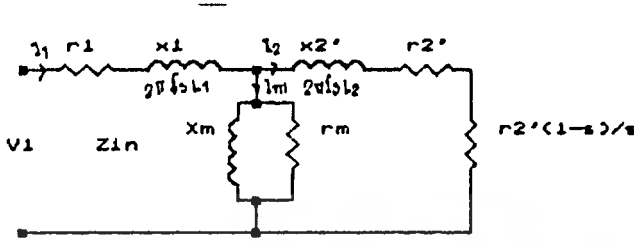
P_{int} : พลังงานที่เกิดขึ้นที่มอเตอร์ = $(1-s)P_g$

ทอร์คเหนี่ยวนำที่มอเตอร์ (internal electromagnetic torque)

$T_{int} = P_{int}/(1-s)\omega_s = P_g/\omega_s$

คุณลักษณะของมอเตอร์เหนี่ยวนำเพื่อเปลี่ยนความถี่

วงจรมุมลย์มอเตอร์ กระแสสลับเหนี่ยวนำ



จากวงจรมุมลย์ $z_{in} = [R_1 + R_2/s] + 2\pi f_s(L_1 + L_2)$

ถ้า v ที่ป้อนเข้ามอเตอร์คงที่ เมื่อความถี่ (f_s) ลดลง z_{in} ก็จะลดลง เพื่อให้คักตกที่ เพราะ ฉะนั้น I_2 จะเพิ่มขึ้น

ดังนั้นสำหรับการทำงานแบบเปลี่ยนแปลงความถี่ คักตาไฟฟ้าและความถี่จะต้องเปลี่ยนแปลงในอัตราส่วนที่เหมาะสม (v/f คงที่) เพื่อรักษาให้มคักคงที่

พลังงานที่เกิดที่มอเตอร์และทอร์คเป็นฟังก์ชันกระแส I_2 z_{in} จะไม่เปลี่ยนแปลงค่าตามความถี่เมื่อ $f_s < 5(R_1 + R_2)/\pi(L_1 + L_2)$ ที่ความถี่สูงมาก z_{in} จะแสดงตัวเป็น

induction impedance เพราะฉะนั้นคักตาไฟฟ้าจะต้องเปลี่ยนแปลงอย่างเป็นสัดส่วนกับความถี่เพื่อให้ทอร์คคงที่

แต่ที่ความถี่ต่ำกว่าความต้านทานจะมีผลเพิ่มขึ้นต่อ z_{in} เพราะฉะนั้น z_{in} จะเปลี่ยนแปลงในอัตราส่วนที่น้อยกว่าเดิม จะเห็นว่า อัตราส่วนของคักตาต่อความถี่ที่ความถี่ต่ำจะสูงกว่าที่ความถี่สูง

เอซีมอเตอร์แบบสองเฟส

เอซีมอเตอร์แบบสองเฟสมักจะใช้กันโดยทั่วไปในระบบคอนโทรลที่ต้องการเพียงกำลังต่ำๆ และสามารถจะปรับความเร็วได้ ข้อได้เปรียบเบื้องต้นของเอซีมอเตอร์ที่เหนือกว่าดีซีมอเตอร์ คือ สามารถสามารถใช้ร่วมกับซิงโคร (synchros) ได้ดีโดยไม่ต้องมีการตีมอดูเลชัน สัญญาณเออร์เรอร์

ไดอะแกรมทางไฟฟ้าของเอซีมอเตอร์แบบสองเฟสดังแสดงดังรูป 1. มอเตอร์ประกอบด้วยอินดักชันโรเตอร์และขดลวดฟิลล์จำนวน 2 ขด วางอยู่ในตำแหน่งทำมุมกัน 90° ฟิลล์ขดหนึ่งทำหน้าที่เป็นฟิลล์อ้างอิงที่มีค่าคงที่ ส่วนอีกฟิลล์หนึ่งเป็นฟิลล์คอนโทรล สัญญาณเออร์เรอร์ เอซี ที่ได้รับการขยายแล้วจะป้อนให้ฟิลล์คอนโทรล สัญญาณนี้จะมิขนาดของแมกนิจูดที่แปรค่าได้และเฟสก็จะแปรค่าอยู่ที่ศูนย์ หรือที่ 180° ฟิลล์อ้างอิงจะได้รับการป้อนกลับด้วยโวลต์ที่ตรงที่มีค่าคงที่ผ่านวงจรเลื่อนเฟสไป 90° สัญญาณนี้จะมิขนาดของแมกนิจูดคงที่และ มุมของเฟสเป็น -90° เอซีมอเตอร์ทั้งสองกำหนดได้โดย

$$e_c = V_c \cos \omega t \quad -1)$$

$$e_r = A \cos(\omega t - 90^\circ) = A \sin \omega t$$

คุณลักษณะการทำงานที่เป็นลิเนียร์ของเอซีมอเตอร์แบบสองเฟสแสดงดังรูปที่ 2 และ 3 เส้นทางที่แสดงถึงการทำงานจริงๆ จะขึ้นอยู่กับวิถีทางของคุณลักษณะระหว่างความเร็วและแรงบิดของมอเตอร์ ตัวอย่างของวิถีทางของเส้นโหนดแสดงได้ด้วยเส้นไขว้ปลากการเปลี่ยนแปลงจากเส้นโหนดหนึ่งไปยังอีกเส้นโหนดเป็นตัวอย่างของวิถีทางการเปลี่ยนแปลงของโหนดของมอเตอร์ V_c ที่เป็นค่าลบในควอดแดรนต์ที่สาม แสดงให้เห็นว่ามอเตอร์กลับทิศทางเมื่อ V_c เป็นลบ

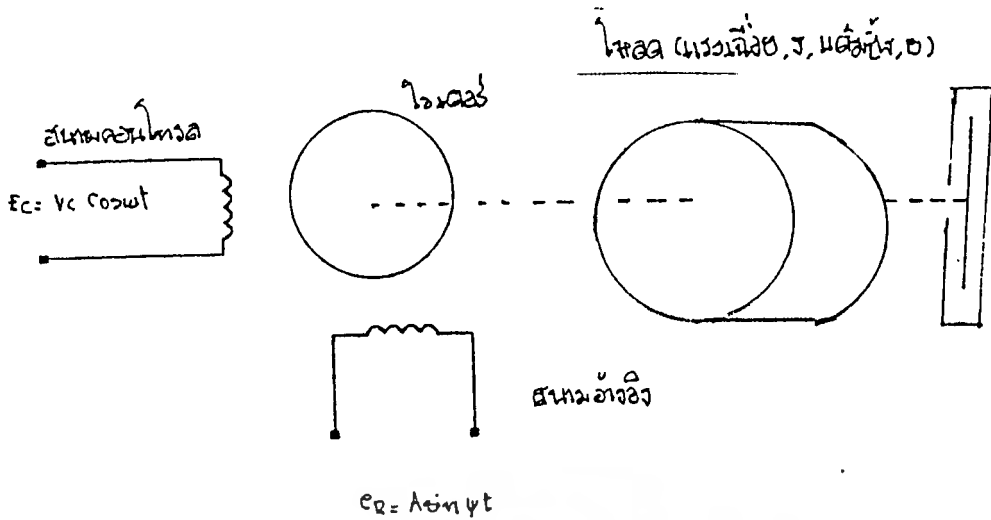
จากรูปที่ 2 และ 3 บอกให้รู้ว่าแรงบิดของมอเตอร์จะเพิ่มขึ้นได้โดยเพิ่มโวลต์ที่ตรง V_c หรือ ลดความเร็วลงเมื่อ V_c คงที่ ถ้าแสดงในทางคณิตศาสตร์ เราจะได้

$$T = K_m V_c - B_m \omega \quad -2)$$

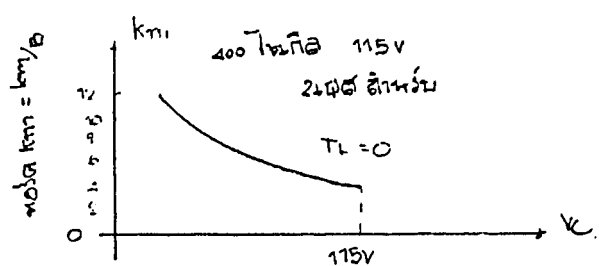
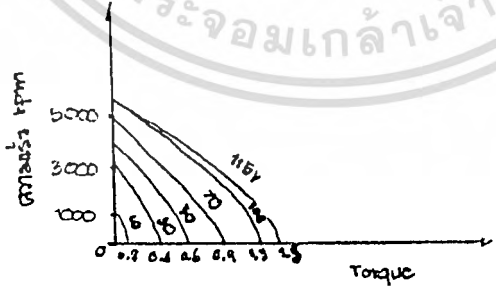
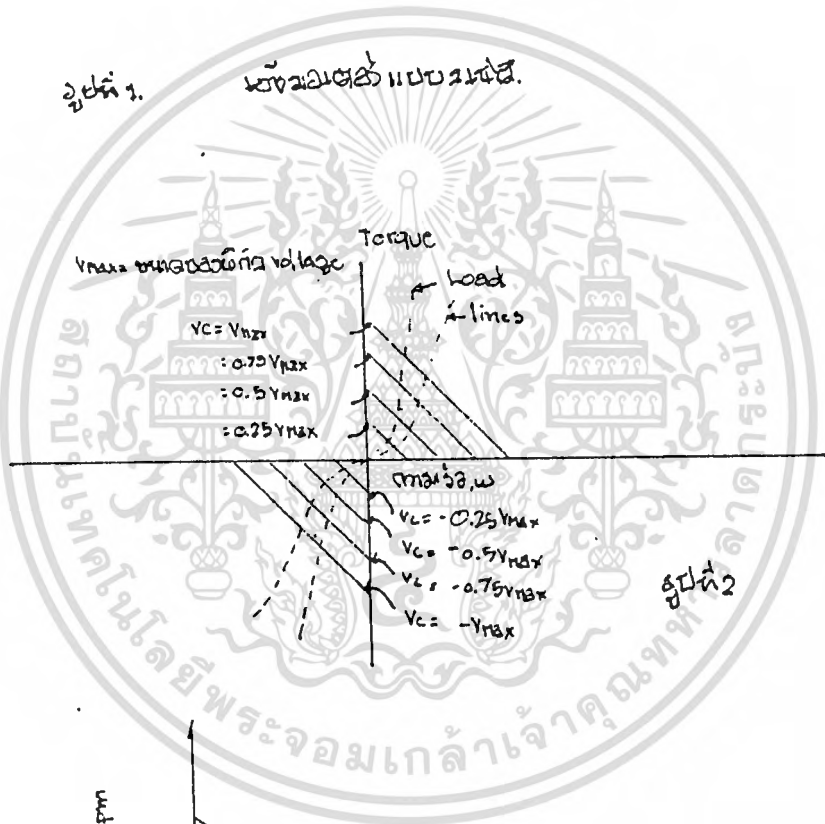
เมื่อ K_m คือ ค่าคงที่ของแรงบิดของมอเตอร์ $= \Delta T / \Delta V_c$; ω คงที่

B_m คือ ค่าคงที่ของวิสคอสฟริกชันสมมุติของมอเตอร์ $= \Delta T / \Delta \omega$; V_c คงที่

ไม่ว่ากรณีใดๆ ทั้งสิ้น อีกทั้งห้ามมิให้ตัดแปลงเนื้อหา และต้องอ้างอิงถึงเจ้าของเอกสารทุกครั้งที่มีการนำไปใช้



รูปที่ 1. สัญญาณต่าง ๆ แบบอนาล็อก



เอกสารนี้เป็นเอกสารที่สงวนไว้สำหรับการใช้งานเพื่อการศึกษาเท่านั้น ไม่อนุญาตให้นำไปใช้ประโยชน์อื่นใด
 ครอบงำและครอบงำผู้อื่นได้ เราไม่ยอมรับข้อควรระวังที่อาจเกิดขึ้น
 ไม่ว่าจะวิธีใดทั้งสิ้น อีกทั้งห้ามมิให้คัดลอกเนื้อหา และต้องอ้างอิงถึงเจ้าของเอกสารทุกครั้งที่มีการนำไปใช้

W_m คือ ความเร็วของมอเตอร์

แรงบิดที่ได้จากมอเตอร์จะป้อนให้กับแรงเฉื่อย และแรงเสียดทานของโหลด

สมการในโดเมนความถี่จะแสดงถึงความสัมพันธ์ระหว่างแรงบิด และ ความเร็วของมอเตอร์

$$T = Jdw/dt + B_L w \quad -3)$$

เมื่อ $J = J_m +$ แรงเฉื่อยของโหลดที่สะท้อนมายังเพลลาของมอเตอร์

$B_L =$ สัมประสิทธิ์ของวิสกอนเฟริกซ์ของโหลดที่สะท้อนมายังเพลลาของมอเตอร์

จากสมการ 2 และ 3 take laplace ได้

$$K_m V_c(s) = (J s + B) W_m(s)$$

$$\text{เมื่อ } B = B_m + B_L$$

จะได้ว่า

$$W_m(s)/V_c(s) = K_m/(1+sT_m)$$

$$\therefore \theta_m(s)/V_c(s) = K_m/(1+sT_m)$$

$$\text{เมื่อ } K_m = K_m/B$$

$$T_m = J/B$$

time constant (T_m) มีความสำคัญมากต่อคุณลักษณะการทำงานไดนามิกของระบบการบังคับมอเตอร์เป็นอย่างมาก แมกนิจูดของ time constant น้อยในเทอมของแรงเฉื่อยซึ่งขึ้นอยู่กับขนาดของโรเตอร์ของเซอร์โวมอเตอร์นี้และขึ้นอยู่กับแรงเฉื่อยของโหลดที่สะท้อนกันมายังเพลลาของมอเตอร์ ส่วนประกอบดังกล่าวต้องพยายามให้ม้ค่าลดลงเท่าที่จะทำได้ ตัวอย่างต่าคือ โรเตอร์ควรใช้เขียนแบบลูกถ้วยเพื่อให้มีแรงเฉื่อยต่ำ หรือใช้หมุนโหลดที่มีขนาดเล็ก

พิจารณาถึงค่าของ K_m ; T_m นั้นจะมีค่าคงที่แต่ตามความเป็นจริงแล้วค่าเหล่านี้จะแปรไปตามจดทำงานของมอเตอร์ การทำงานของมอเตอร์ในลักษณะลูปเปิดโดยให้ V_c มีค่าคงที่ที่ค่าหนึ่งป้อนให้กับขดลวดคอนโทรล เมื่อความเร็วของมอเตอร์ของมอเตอร์ถึงสภาวะคงที่ จะได้ว่า

$$K_m V_c I = (B_m + B_L) W_m ; W_m = d\theta_m / dt$$

$$W_m/V_c I = K_m / (B_m + B_L) = K_m$$

แสดงให้เห็นว่าค่าของ K_m อาจหาได้โดยวัดความเร็วของมอเตอร์ที่สภาวะคงตัวเมื่อขดลวดคอนโทรลป้อนโวลท์ที่เตจค่าหนึ่ง อัตราส่วนของค่าดังกล่าวจะมีค่าเท่ากับ K_m ซึ่งถ้าค่าของ V_c เปลี่ยนไปก็จะทำให้ค่า K_m แปรไปด้วยดังกราฟ ซึ่งเราสามารถสังเกตการเปลี่ยนแปลงของ K_m มากกว่า 2:1 เนื่องจาก K_m เป็นส่วนหนึ่งของ gain

ไม่ว่ากรณีใดๆทั้งสิ้น อีกทั้งห้ามมิให้ตัดแปลงเนื้อหา และต้องอ้างอิงถึงเจ้าของเอกสารทุกครั้งที่มีการนำไปใช้

factor ซึ่งทำให้ผลรวมอัตราขยายลบเปิดเปลี่ยนแปลงไปด้วยสามารถทำให้เกิดผลเสียต่อการทำงานของระบบได้ การเปลี่ยนแปลงค่าของ K_m เป็นการเพิ่มอัตราขยายลบ เมื่อระบบปรับการบังคับให้เข้าสู่ภาวะสมดุล (V_c ค่อยๆตกเป็น 0) อาจเป็นสาเหตุให้ผลตอบสนองเกิด oscillate อย่างรุนแรงและอาจมีผลถึงทำให้ระบบไม่มีเสถียรภาพก็ได้ในบางกรณี

การดัดแปลงมอเตอร์ เฟสเดียวเพื่อใช้งานเป็นมอเตอร์ สองเฟส

ในที่นี้กล่าวถึงมอเตอร์ที่แยกเฟสออกจากกัน (split phase motor)

ประกอบด้วยตัวอยู่ที่ขั้วและตัวหม้อ แต่การดัดแปลงจะกล่าวถึงตัวอยู่ที่ขั้ว

ตัวอยู่ที่ขั้ว (stator) มี 2 ขด คือ ขด run และ ขด start ขด run มีความต้านทานต่ำแต่ reactance สูงกว่าขด start ขดทั้ง 2 พันไว้เป็นมุมห่างกัน 90° ไฟฟ้า การดัดแปลงโดยการตัดสวิตช์หิ้นศูนย์กลางออก และป้อนอินพุทให้มีเฟส 90° เช่นกันเข้าทางขด start มีการปรับอัตราส่วนความถี่ของ PWM ของขด run และ start ให้เหมาะสม เพื่อให้กระแสไหลผ่านขดทั้ง 2 เป็นสัดส่วนที่เหมาะสม

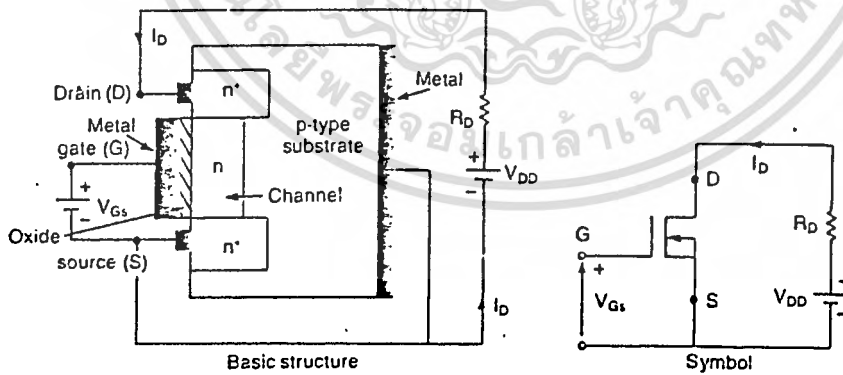
เอกสารนี้เป็นเอกสารที่สงวนไว้สำหรับการใช้งานเพื่อการศึกษาเท่านั้น ไม่นิยมนำไปใช้ประโยชน์ด้านการค้า
ไม่ว่ากรณีใดๆทั้งสิ้น อีกทั้งห้ามมิให้ดัดแปลงเนื้อหา และต้องอ้างอิงถึงเจ้าของเอกสารทุกครั้งที่มีการนำไปใช้

power mosfet

ทรานซิสเตอร์เป็นอุปกรณ์ประเภทที่ไว้อัดด้วยกระแสเบส เพื่อควบคุมกระแสคอลเลคเตอร์หรือเรียกอีกอย่างหนึ่งว่า CURRENT CONTROLLED DEVICE เพราะว่าการไหลของกระแสที่ขึ้นอยู่กับกระแสเบสดังนั้นอัตราขยายกระแสจึงขึ้นอยู่กับ junction temperature

power mosfet เป็นอุปกรณ์ประเภท VOLTAGE CONTROLLED DEVICE ต้องการกระแสอินพุตเพียงเล็กน้อยความเร็วลวิซสูงมากกว่า 10^{-9} วินาที พบว่า power fet ใช้กันมากใน low power , high frequency converter ดังนั้นจึงไม่มีปัญหาเกี่ยวกับ second breakdown เหมือนอย่างเช่นทรานซิสเตอร์ แต่ mosfet มีปัญหาเกี่ยวกับการคายประจุของไฟฟ้าสถิต

- mosfet มี 2 ชนิด 1.depletion mosfet
- 2.enhancement mosfet
- n channel depletion type mosfet พิจารณาจากรูป



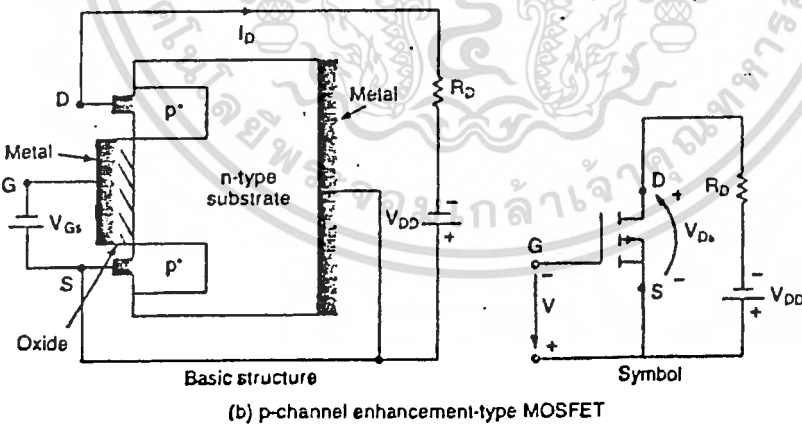
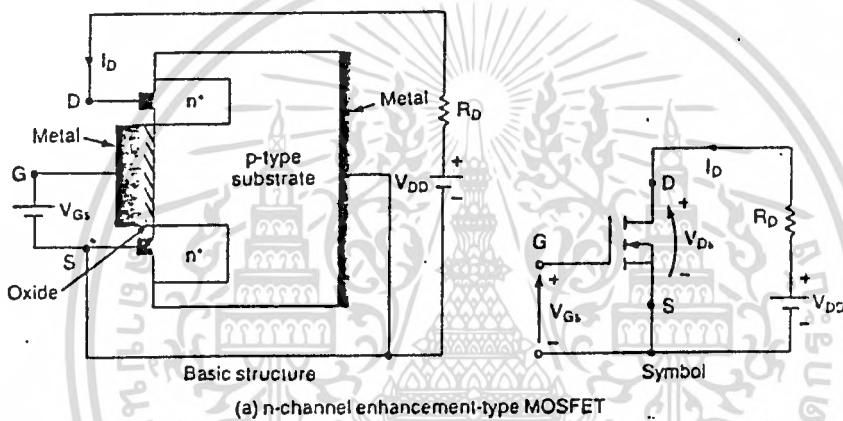
(a) n-channel depletion-type MOSFET

ซึ่งจะมีการ doped สาร silicon n^+ ความต้านทานตรงรอยต่อจึงต่ำ มี oxide เป็นตัวแยกระหว่างเกตและ channel ขาทั้ง 3 เรียกว่า เกต, เดรน, ซอร์ส

V_{GS} สามารถต่อได้ทั้งบวกและลบ ถ้า V_{GS} เป็นลบ อิเล็กตรอนส่วนหนึ่งใน n channel จะถูกและสร้าง depletion region ทางด้านล่างของชั้น oxide ทำให้ไม่ว่ากรณีใดๆทั้งสิ้น อีกทั้งห้ามมิให้ตัดแปลงเนื้อหา และต้องอ้างอิงถึงเจ้าของเอกสารทุกครั้งที่มีการนำไปใช้

เกิดความต้านทานลง จากเดรน ไป ซอร์ส , R_{DS} ถ้า V_{GS} ลงมากพอจะทำให้ channel หดไปโดยสมบูรณ์ R_{DS} จึงสูงมากทำให้ I_{DS} เป็น ศูนย์ V_{GS} ที่เกิดขึ้นนี้เรียกว่า PINCH OFF VOLTAGE, V_P ในทางกลับกันถ้า V_{GS} เป็นลบ, channel จะกว้างขึ้น I_{DS} เพิ่มขึ้น R_{DS} จึงลดต่ำลง

n channel enhancement mosfet ไม่มี channel ดังรูปที่ 2



ถ้า V_{GS} เป็น บวกจะเกิด induced voltage ดึงดูดอิเล็กตรอนจาก p substrate และจะสะสมบริเวณพื้นผิวใต้ชั้นของ oxide ถ้า V_{GS} มากขึ้นหรือเท่ากับค่า threshold voltage, V_T อิเล็กตรอนที่เพียงพอจะถูกละสมเป็น virtual n channel และทำให้ออกสารนี้เป็นเอกสารที่สงวนไว้สำหรับการใช้งานเพื่อการศึกษาเท่านั้น ไม่อนุญาตให้นำไปใช้ประโยชน์ด้านการค้า กระแสไหลจากเดรนไปซอร์ส
ไม่ว่ากรณีใดๆทั้งสิ้น อีกทั้งห้ามมิให้ดัดแปลงเนื้อหา และต้องอ้างอิงถึงเจ้าของเอกสารทุกครั้งที่มีการนำไปใช้

STEADY STATE CHARACTERISTIC

mosfet เป็นอุปกรณ์ประเภท voltage controlled device มีความต้านทานอินพุตสูงมากเกณฑ์มีกระแสรั่วไหลน้อยมากประมาณ 10^{-9} A อัตราขยายกระแสเป็นอัตราส่วนของกระแสเดรนและกระแสเกต มีค่าสูงประมาณ 10^5 แต่อัตราขยายกระแสไม่เป็นพารามิเตอร์ที่สำคัญ พารามิเตอร์ที่สำคัญคือ I_D/V_G หรือเรียกว่า transconductance

transconductance ของ n channel และ p channel mosfet แสดงดังรูปที่ 3 และ 4 ซึ่งแสดง output characteristic ของ n channel enhancement mosfet มีย่านการทำงาน 3 ย่าน

1. ช่วง cut off $V_{GS} < V_T$
2. ช่วงอิ่มตัว $V_{DS} > V_{GS} - V_T$
3. linear region $V_{DS} < V_{GS} - V_T$

steady state model จะมีทั้ง depletion type และ enhancement type mosfet ดังรูปที่ 5

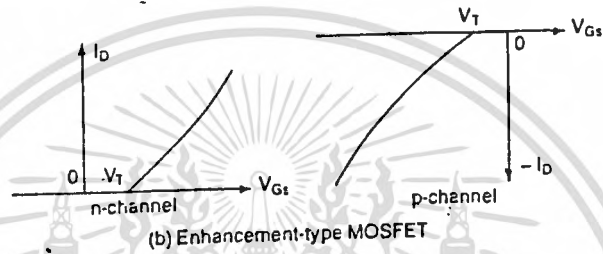
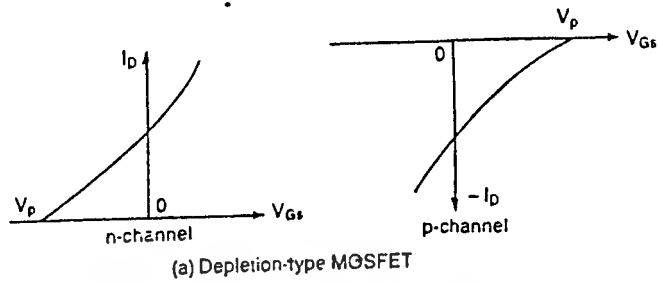
Transconductance หรือ G_m จะได้ว่า

$$G_m = \frac{I_D}{V_{GS}} \quad \Big| \quad V_{DS} = \text{ค่า}$$

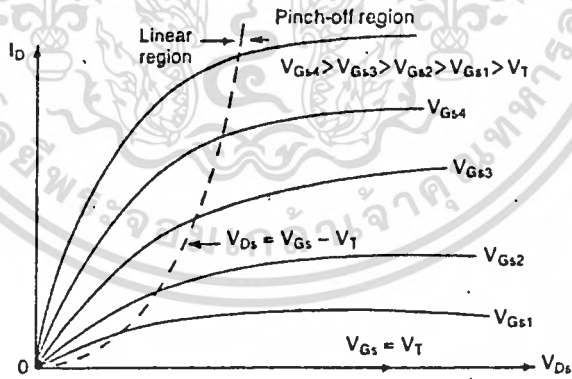
ความต้านทานเอาต์พุตของ R_{DS}

$$R_{DS} = \frac{\Delta V_{DS}}{\Delta I_D}$$

เอกสารนี้เป็นเอกสารที่สงวนไว้สำหรับการใช้งานเพื่อการศึกษาเท่านั้น ไม่อนุญาตให้นำไปใช้ประโยชน์ด้านการค้า ไม่ว่าจะกรณีใดๆทั้งสิ้น อีกทั้งห้ามมิให้ตัดแปลงเนื้อหา และต้องอ้างอิงถึงเจ้าของเอกสารทุกครั้งที่มีการนำไปใช้

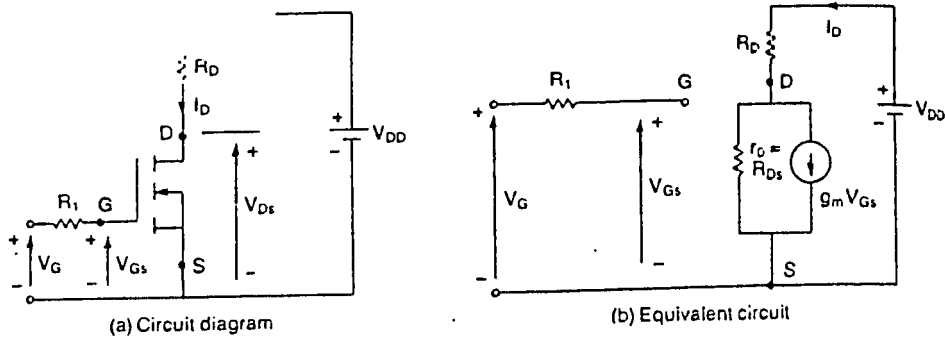


Transfer characteristics of MOSFETs.



Output characteristics of enhancement-type MOSFET.

เอกสารนี้เป็นเอกสารที่สงวนไว้สำหรับการใช้งานเพื่อการศึกษาเท่านั้น ไม่อนุญาตให้นำไปใช้ประโยชน์ด้านการค้า
ไม่ว่ากรณีใดๆทั้งสิ้น อีกทั้งห้ามมิให้ตัดแปลงเนื้อหา และต้องอ้างอิงถึงเจ้าของเอกสารทุกครั้งที่มีการนำไปใช้



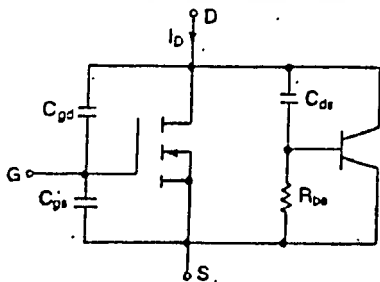
Steady-state switching model of MOSFETs.

จะสูงมากในช่วง PINCH OFF REGION มีค่าเป็น 10^5 โอห์ม และในย่าน LLNEAR จะต่ำมากราว 10^{-3} โอห์ม

สำหรับแบบ Depletion Type Mosfet V_G เป็นได้ทั้งบวกและลบ แต่ enhancement-type-mosfet จะตอบสนองเฉพาะแรงดันเกทที่เป็นบวกเท่านั้น Power Mosfet โดยทั่วไปเป็นแบบ enhancement type แต่อย่างไรก็ตาม depletion type Mosfet มีข้อดีตรงออกแบบได้ง่าย

คุณสมบัตการเป็นSWITCH

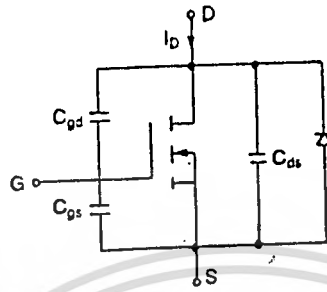
เมื่อไม่มีสัญญาณ GATE ENHANCEMENT TYPE MOSFET พิจารณาได้เช่นกัน TRANSISTOR NPN โครงสร้างของ GATE จะมี CAPACITOR ที่ SOURCE, C_{gs} และตรงขาเดรน C_{gd} พิจารณาจากรูป



(a) Parasitic bipolar

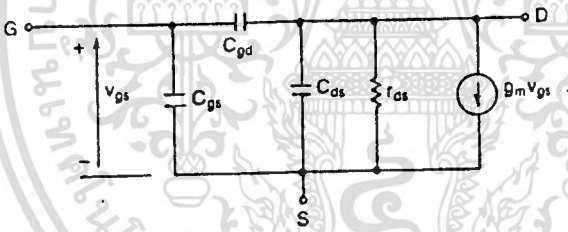
เอกสารนี้เป็นเอกสารที่สงวนไว้สำหรับดูและใช้แบบเรียนการสอนเท่านั้น ไม่สามารถนำข้อมูลไปเผยแพร่ได้
แสดงถึงวงจรสมบรณ์ ของการต่อ TRANSISTOR ขนานกัน MOSFET แบบลอมิเตอร์ ของ
ไมวารณิดาทุกทั้งสิน อีกทั้งห้ามมิให้ตัดแปลงเนื้อหา และต้องอ้างอิงถึงเจ้าของเอกสารทุกครั้งที่มีการนำไปใช้

NPN TRANSISTOR จะถูกสังเกตจรรยา ความต้านทานจากเบสต่อเอมิเตอร์ RBE น้อย
 เหตุนี้ MOSFET พิจารณาได้ว่ามี DIODE ภายใน ดังรูป PARASITIC CAPACITOR
 จะขึ้นอยู่กับแรงดัน

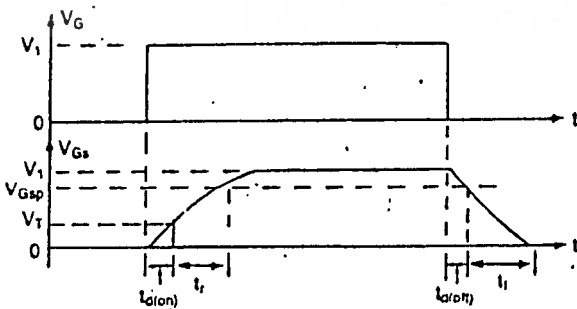


(a) Internal diode

การทำงานเป็นสวิตช์ ดังรูป



รูปคลื่นและเวลา ดังรูป



TURN ON DELAY $T_d(ON)$ คือเวลาที่ใช้ชาร์จ INPUT CAPACITANCE จนถึงระดับ
 THRESHOLD VOLTAGE
 ไม่วารกรณีใดๆทั้งสิ้น อีกทั้งห้ามมิให้ตัดแปลงเนื้อหา และต้องอ้างอิงถึงเจ้าของเอกสารทุกครั้งที่มีการนำไปใช้

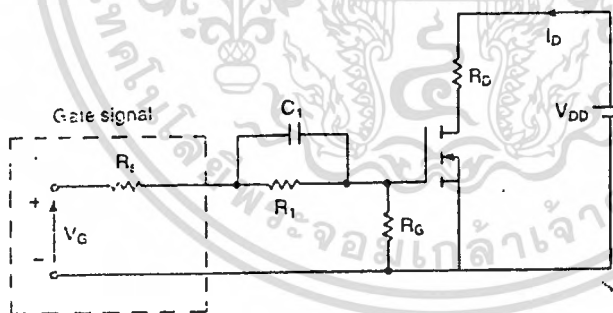
RISETIME, TRANSISTOR คือเวลาชาร์จจาก THRESHOLD ถึง FULLGATE VOLTAGE VGSP ซึ่งใช้ขับ TRANSISTOR ในช่วง LINEAR

TURN OFF DELAY TIME $T_d(OFF)$ คือ เวลาที่ INPUT คายประจจาก OVERDRIVE GATE , V_i ในช่วง PINCHOFF VOLTAGE V_{gs} จะต้องลดลงก่อนหน้าที่ V_{ds} จะลงขึ้น

FALLTIME , T_f คือ เวลาที่ CAPACITOR คายประจจากช่วง PINCH OFF ถึง THREATHOLDVOLTAGE ถ้า $V_{gs} < V_t$ ทราซิสเตอร์จะหยุดทำงาน

GATE DRIVE

เวลา TURN ON ของ MOSFET ขึ้นกับการเวดชาร์ลของ INPUT หรือ GATE CAPACITANCE เวลา TURN ON สามารถลดโดยจำนวน RC ดังรูป



เพื่อชาร์ล GATE C ให้เร็วขึ้น เพื่อ GATE VOLTAGE เปิดกระแส INITFAT CHARGING ของ C คือ

$$I_G = V_G$$

RS

เอกสารนี้เป็นเอกสารที่สงวนไว้สำหรับการใช้งานเพื่อการศึกษาเท่านั้น ไม่อนุญาตให้นำไปใช้ประโยชน์ด้านการค้า
 VG. คงที่
 ไม่ว่าจะกรณีใดๆทั้งสิ้น อีกทั้งห้ามมิให้ดัดแปลงเนื้อหา และต้องอ้างอิงถึงเจ้าของเอกสารทุกครั้งที่มีการนำไปใช้

$$VGS = \frac{RGVG}{RS+R1+RG}$$

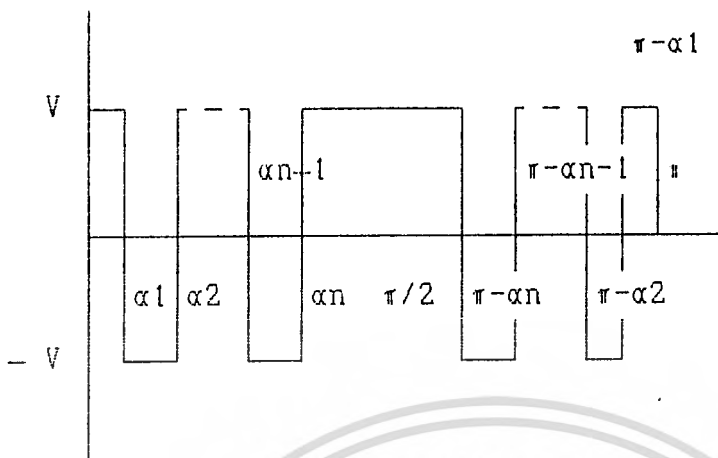
$$RS+R1+RG$$

RS คือ R ภายใน GATE DRIVE SOURCE



เอกสารนี้เป็นเอกสารที่สงวนไว้สำหรับการใช้งานเพื่อการศึกษาเท่านั้น ไม่อนุญาตให้นำไปใช้ประโยชน์ด้านการค้า
ไม่ว่ากรณีใดๆทั้งสิ้น อีกทั้งห้ามมิให้ตัดแปลงเนื้อหา และต้องอ้างอิงถึงเจ้าของเอกสารทุกครั้งที่มีการนำไปใช้

HARMONIC REDUCTION



$$V_o = \sum_{n=1}^{\infty} A_n \sin n\omega t$$

$$A_n = \frac{4V}{\pi} \left[\int_{\alpha_1}^{\alpha_2} \sin n\omega t d\omega t - \int_{\pi-\alpha_1}^{\pi-\alpha_2} \sin n\omega t d\omega t + \dots \right]$$

$$A_n = \frac{4V}{\pi} [1 - 2\cos n\alpha_1 + 2\cos n\alpha_2 - \dots]$$

$0 < \alpha_1 < \alpha_2 < \dots < \alpha_n < \pi/2$

ฮาร์โมนิกที่มีความผลต่อการควบคุมความเร็วคือ ฮาร์โมนิกที่ 5, 7, 11, 13 เป็นต้น ซึ่งจะทำให้เกิด low speed torque pulsation จึงจำเป็นต้องกำจัดฮาร์โมนิกดังกล่าว

ให้ $n=4$ พิจารณาจากสมการจะได้ว่า

$$A_1 = (4V/\pi) [1 - 2\cos\alpha_1 + 2\cos\alpha_2 - 2\cos\alpha_3 + 2\cos\alpha_4]$$

$$A_5 = 1 - 2\cos 5\alpha_1 + 2\cos 5\alpha_2 - 2\cos 5\alpha_3 + 2\cos 5\alpha_4 = 0$$

$$A_7 = 1 - 2\cos 7\alpha_1 + 2\cos 7\alpha_2 - 2\cos 7\alpha_3 + 2\cos 7\alpha_4 = 0$$

$$A_{11} = 1 - 2\cos 11\alpha_1 + 2\cos 11\alpha_2 - 2\cos 11\alpha_3 + 2\cos 11\alpha_4 = 0$$

$$A_{13} = 1 - 2\cos 13\alpha_1 + 2\cos 13\alpha_2 - 2\cos 13\alpha_3 + 2\cos 13\alpha_4 = 0$$

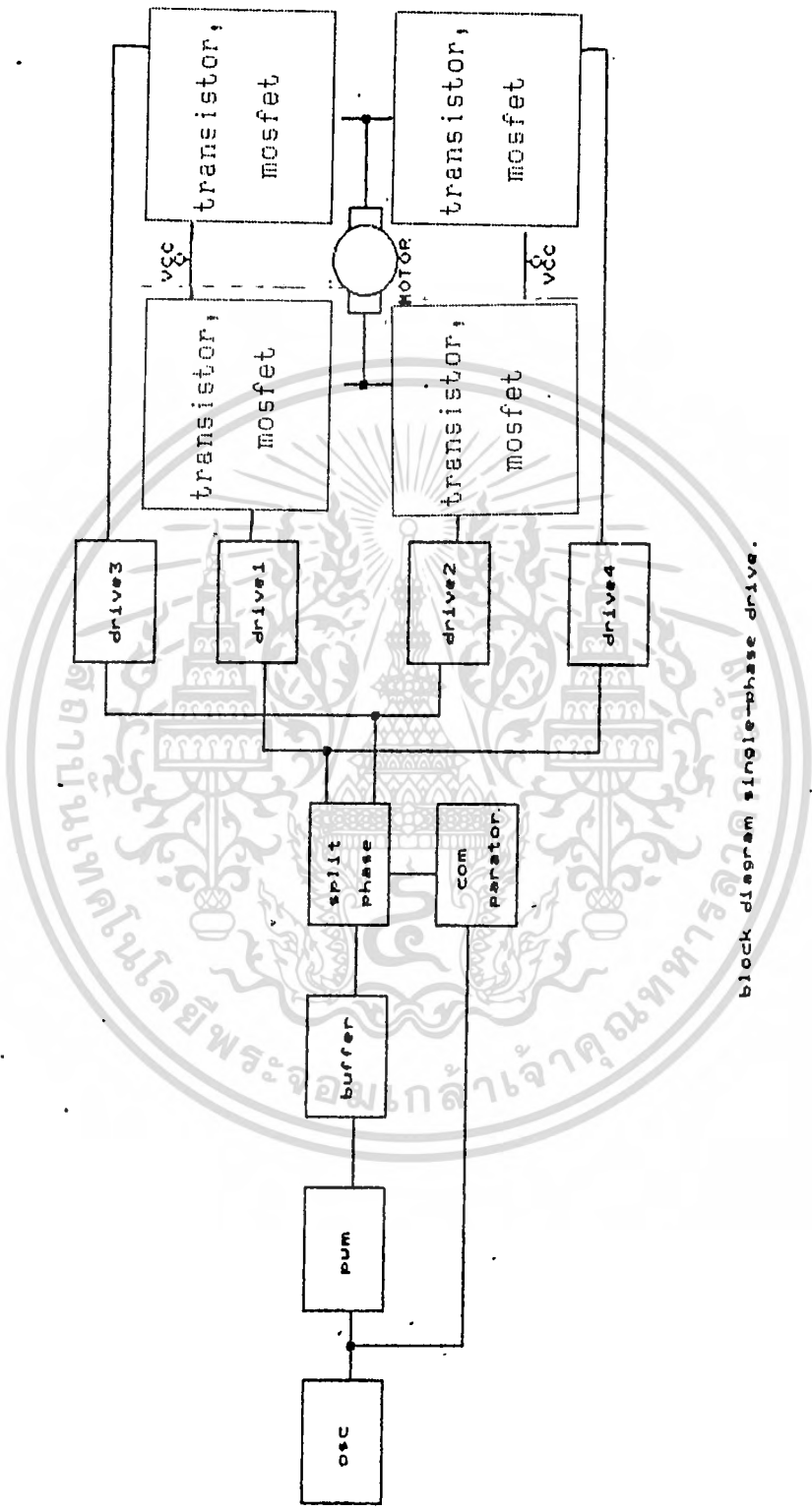
สามารถหาคำตอบโดยใช้วิธี iterative ได้ผลดังนี้

$$\alpha_1 = 10.55^\circ \quad \alpha_2 = 16.09^\circ \quad \alpha_3 = 30.91^\circ \quad \alpha_4 = 32.87^\circ$$

เอกสารนี้เป็นเอกสารตัวอย่างและเป็นสมการ fundamental เท่านั้น ไม่อนุญาตให้นำไปใช้ประโยชน์ด้านการค้า ไม่ว่าจะกรณีใดๆทั้งสิ้น อีกทั้งห้ามมิให้ตัดแปลงเนื้อหา และต้องอ้างอิงถึงเจ้าของเอกสารทุกครั้งที่มีการนำไปใช้



เอกสารนี้เป็นเอกสารที่สงวนไว้สำหรับการใช้งานเพื่อการศึกษาเท่านั้น ไม่อนุญาตให้นำไปใช้ประโยชน์ด้านการค้า
ไม่ว่ากรณีใดๆทั้งสิ้น อีกทั้งห้ามมิให้ตัดแปลงเนื้อหา และต้องอ้างอิงถึงเจ้าของเอกสารทุกครั้งที่มีการนำไปใช้



block diagram single-phase drive.

เอกสารนี้เป็นเอกสารที่สงวนไว้สำหรับการใช้งานเพื่อการศึกษาเท่านั้น ไม่อนุญาตให้นำไปใช้ประโยชน์ด้านการค้า
ไม่ว่ากรณีใดๆทั้งสิ้น อีกทั้งห้ามมิให้ดัดแปลงเนื้อหา และต้องอ้างอิงถึงเจ้าของเอกสารทุกครั้งที่มีการนำไปใช้

RC PHASESHIFTER VARIABLE SINUSOIDAL OSCILLATOR

วงจรมีพื้นฐานดังรูปที่ 1 เป็นวงจรที่ใช้สภาวะเริ่มต้น ความคม AMPLITUDE วงจรออสซิลเลเตอร์จริงๆมี OP AMP 3 ตัว มี A1-A3 A1-A2 ต่อเป็นวงจร FIRST ORDER RC PHASESHIFTERS A3 เป็นตัว FEED BACK สัญญาณมาying A1 A4 เป็น OUTPUT ซึ่งต่อเป็นวงจร BUFFER เพื่อป้องกันการไหลของวงจรงานนอก S1 อยู่ในตำแหน่งปิด เพื่อนำ INITIAL DC VOLTAGE (V1) ไปยัง C1 OP AMP ทั้ง 4 ตัว สมมติให้เป็นอุดมคติ A5-A7 ต่อเป็น WINDOW COMPARATOR สร้าง PULSE แคบๆ เพื่อไปเปิด S1 คุณสมบัติที่สำคัญของ WINDOW COMPARATOR คืออัตราส่วนของเวลาเมื่อ S1 ปิด คาบของการ OSCILLATE จะคงที่ ขณะที่ความถี่เปลี่ยนไป

OP AMP ต่อเป็นวงจร PHASESHIFTER 2 ตัว สามารถเลื่อนสัญญาณเป็น 180° OP AMP ตัวที่ 3 ต่อเป็น INVERTER โดย $R_{a1}-R_{a4}=R_a$ ใช้ GAIN=1 ดังนั้น $M=1$ ในทางปฏิบัติ ANALOG SWITCH 4 ตัว ใช้เป็น S1 และ V1 กับ V" จะต้องผ่านวงจร BUFFER เมื่อ OSCILLATOR ทำงาน กระแสชาร์จ C1 จะขึ้นอยู่กับ R_{on} ของ ANALOG SWITCH และที่สภาวะ STEADY STATE $V_{c1}=V1$

$$I = C_2 \frac{dV_{c2}}{dt} \quad (1)$$

$$I = \frac{V_2 - V_{c2}}{R_2} \quad (2)$$

แทน (1) ใน (2)

$$C_2 \frac{dV_2}{dt} = \frac{V_2 - V_{c2}}{R_2}$$

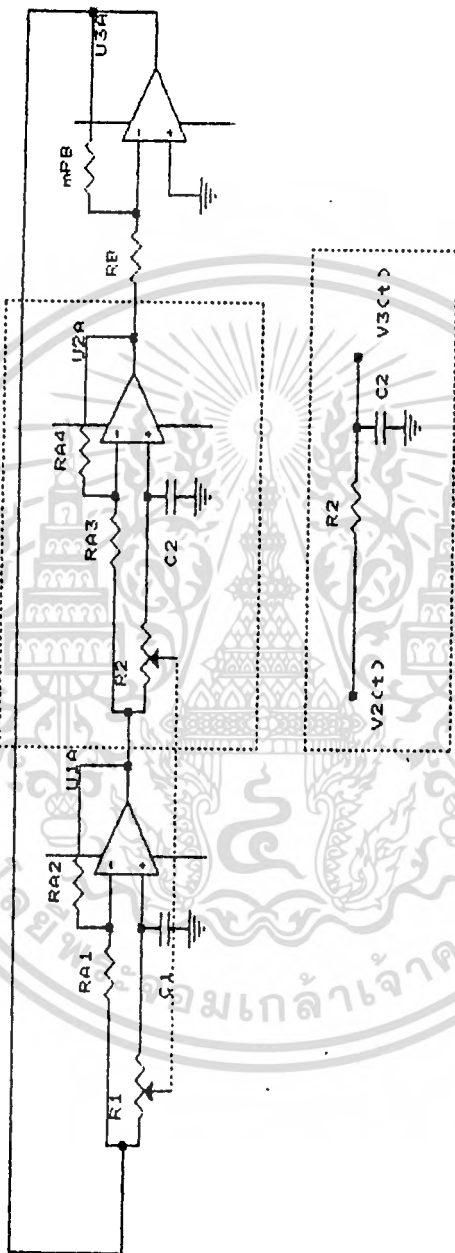
$$V_2 - V_{c2} = R_2 C_2 \frac{dV_2}{dt}$$

take laplace $T_2 = R_2 C_2$

$$V_2(s) - V_{c2}(s) = T_2 [sV_2(s) - V_{c2}(0)]$$

$$(sT_2 + 1)V_2(s) = V_{c2}(0) + T_2 sV_2(s)$$

เอกสารนี้เป็นเอกสารที่สงวนไว้สำหรับนักเรียนเพื่อการศึกษาเท่านั้น เมื่ออนุญาตให้นำไปใช้ประโยชน์ด้านการค้า ไม่ว่าจะกรณีใดๆทั้งสิ้น อีกทั้งห้ามมิให้ตัดแปลงเนื้อหา และต้องอ้างอิงถึงเจ้าของเอกสารทุกครั้งที่มีการนำไปใช้



เอกสารนี้เป็นเอกสารที่สงวนไว้สำหรับการใช้งานเพื่อการศึกษาเท่านั้น ไม่อนุญาตให้นำไปใช้ประโยชน์ด้านการค้า
ไม่ว่ากรณีใดๆทั้งสิ้น อีกทั้งห้ามมิให้ตัดแปลงเนื้อหา และต้องอ้างอิงถึงเจ้าของเอกสารทุกครั้งที่มีการนำไปใช้

$$V_{c2(s)} = \frac{V2(s)}{(1+ST_1)} + \frac{T2Vc2(0)}{(1+ST_2)} \quad -(3)$$

$$\frac{V2-Vc2}{Ra} = \frac{Vc2-V3}{Ra}$$

$$V_a = 2V_{c2} - V_2$$

take laplace

$$V_{a(s)} = 2V_{c2(s)} - V_{2(s)}$$

แต่ $V_{c2(s)} = \frac{V2(s)}{1+ST_2} + \frac{T2Vc2(0)}{1+ST_2}$

$$V_{a(s)} = \frac{2V2(s)}{1+ST_2} + \frac{2T2Vc2(0)}{1+ST_2} - V_{2(s)}$$

$$= \frac{V2((1-ST_2) + 2T2Vc2(0))}{1+ST_2} \quad -(4)$$

The Ideal Case Close Loop Response

เมื่อทำงานในอุดมคติ จะได้ว่า

$$R1=R2 : C1=C2 : m=1 : T2=T1=T$$

$$V_{a(s)} = \frac{(1-ST)V2(s) + 2T2Vc2(0)}{1+ST_2}$$

$$V_{a(s)} = \frac{(1-ST)V2(s) + 2TVc2(0)}{1+ST}$$

$$V_{2(s)} = \frac{(1-ST)V1(s) + 2TVc1(0)}{1+ST}$$

$$V_{1(s)} = V_a(s) = -V_{a(s)}$$

$$V_{a(s)} = \frac{[(1-ST)V2(s) + 2TVc2(0)]}{1+ST}$$

$$-V_{1(s)} = V_{a(s)} = \frac{(1-ST)V2 + 2TVc(0)}{1+ST} \quad -(5)$$

เอกสารนี้เป็นเอกสารที่สงวนไว้สำหรับการใช้งานเพื่อการศึกษาเท่านั้น ไม่อนุญาตให้นำไปใช้ประโยชน์ด้านการค้า
ไม่ว่ากรณีใดๆทั้งสิ้น อีกทั้งห้ามมิให้ตัดแปลงเนื้อหา และต้องอ้างอิงถึงเจ้าของเอกสารทุกครั้งที่มีการนำไปใช้

แต่

$$V_{2(s)} = \frac{(1-ST)V_1(s) + 2TV_{c1(0)}}{1+ST}$$

$$V_{1(s)} = \frac{(1+ST)V_2 - 2TV_{c1(0)}}{1-ST} \quad -(6)$$

(6) แทนใน (5)

$$-(1+ST)V_{1(s)} = (1-ST)V_{2(s)} + 2TV_{c2(0)}$$

$$\frac{(1+ST)^2 V_2(s) + 2T(1+ST)V_{c1(0)}}{1-ST} = (1-ST)V_{2(s)} + 2TV_{c2(0)}$$

$$\frac{1-ST}{(1-ST)V_2(s)} + \frac{(1+ST)^2 V_{2(s)}}{1-ST} = \frac{2T(1+ST)V_{c1(0)}}{1-ST} - 2TV_{c2(0)}$$

$$V_{c2(s)} = \frac{T(1+ST)V_{c1(0)}}{(1+ST)(1+S^2T^2)} - \frac{T(1-ST)V_{c2(0)}}{(1+ST)(1+S^2T^2)} + \frac{V_{c2(0)}}{1+ST}$$

$$= \frac{TV_{c1(0)}}{1+S^2T^2} + \frac{TV_{c2(0)}[-1+ST+1+S^2T^2]}{(1+ST)(1+S^2T^2)}$$

$$V_{c1(s)} = \frac{TV_{c1(0)}}{1+S^2T^2} + \frac{ST^2 V_{c2(0)}}{1+S^2T^2} \quad -(6)$$

$$V_{c2(s)} = \frac{V_{c1(0)} + SV_{c2(0)}}{T(S^2 + 1/T^2)} \quad (S^2 + 1/T^2)$$

Inverse Laplace

$$V_{c2(t)} = [\cos \omega_0 t]V_{c2(0)} + [\sin \omega_0 t]V_{c1(0)} \quad -(7)$$

โดยที่ $1/T = \omega_0$

จากสูตร

$$\sin(A+B) = \sin A \cos B + \sin B \cos A$$

คูณ C ทั้งสองข้าง

$$C[\sin(A+B)] = C[\sin A \cos B + \sin B \cos A]$$

เอกสารนี้เป็นเอกสารที่สงวนไว้สำหรับการใช้งานเพื่อการศึกษาเท่านั้น ไม่อนุญาตให้นำไปใช้ประโยชน์ด้านการค้า
ไม่ว่ากรณีใดๆทั้งสิ้น อีกทั้งยังมีให้ตัดแปลงเนื้อหา และต้องอ้างอิงถึงเจ้าของเอกสารทุกครั้งที่มีการนำไปใช้

$$= \cos B [C \sin A] + \sin B [C \cos A] \quad (8)$$

(7) เทียบกับ (8)

$$C \sin A = Vc2(0)$$

$$C \cos A = Vc1(0)$$

$$\tan A = Vc2(0) / Vc1(0)$$

$$A = \tan^{-1} [Vc2(0) / Vc1(0)]$$

$$B = \omega t$$

$$VC2(t) = C \sin[A + B]$$

จากสูตรพีทาโกรัส

$$VC2(0)^2 = C^2 \sin^2 A \quad (8)$$

$$VC1(0)^2 = C^2 \cos^2 A \quad (9)$$

สมการที่ 8 + สมการที่ 9

$$C^2 = VC2(0)^2 + VC1(0)^2$$

$$C = \sqrt{VC2(0)^2 + VC1(0)^2} \quad (10)$$

จะได้ว่า

$$VC2(0) = \sqrt{VC2(0)^2 + VC1(0)^2} \sin(\omega t + A) \quad (11)*$$

จะเห็นว่าขนาดของ output จะขึ้นอยู่กับ initial condition ของ VC1 และ VC2 มุมที่เคลื่อนไปขึ้นอยู่กับ $VC2(0) / VC1(0)$ ถ้าให้ $VC2(0) = 0$ จะได้ $\sin \omega t$ ที่มีขนาดขึ้นอยู่กับ $VC1(0)$ และค่า phaseshift = 0 ดังสมการ

$$VC2(0) = VC1(0) \sin \omega t \quad (12)*$$

THE FINITE INITIAL VOLTAGE CONTROLLING TIME

การพิจารณาผลของ finite initial voltage controlling time จำเป็นต้องกำหนดให้ $t=0$ เมื่อ $vc2(t)=0$ และระดับสัญญาณกำลังเพิ่มขึ้น $T1$ คือช่วงเวลาที่ $s1$ ปิด ดังนั้น

$$vc1(t) = V1 \quad 0 < t < T1$$

พิจารณาจากรูปที่ 2

$$[V1(t) - VC1(t)] / R = [VC1(t) - V2(t)] / R$$

เอกสารนี้เป็นเอกสาร $V2(t) = 2V1(t) - V1(t)$ เพื่อการศึกษาเท่านั้น ไม่อนุญาตให้นำไปใช้ประโยชน์ด้านการค้า
ไม่ว่ากรณีใดๆทั้งสิ้น คือจะขึ้นอยู่กับที่ผู้คิดแปลงเนื้อหา และต้องอ้างอิงถึงเจ้าของเอกสารทุกครั้งที่มีการนำไปใช้
 $V1(t) = -V3(t)$

TAKE LAPLACE

$$V2(s) = 2VC1(s) + V3(s)$$

$$V2(s) = (1+sT)VC1(s)/sT + VC2(0)/s \quad -13)*$$

$$VC2(s) = VC1(s)/sT + VC2(0)/s \quad -14)*$$

ให้ $VC2(0) = 0$

$$VC2(s) = VC1(s)/sT$$

INVERSE LAPLACE

$$VC2(t) = [VC1(t)/T]t$$

แต่ $VC1 = VI$

$$VC2(t) = [VI/T]t \quad -15)$$

$$t = T1$$

$$VC1(T1) = VI \text{ และ } VC2(T1) = [VI/T]T1 \quad -16)$$

และช่วง $t > T1$ โดยใช้สมการ 11

แทนค่า $VC1(T1) = VI$ และ $VC2(T1) = [VI/T]T1$ และ $t = (t - T1)$

$$VC2(t) = [VI\sqrt{(1 + T1^2/T^2)}] \sin[\omega_0(t - T1) + \tan^{-1}(\omega_0 T1)] \quad -17)*$$

$: T1 < t < T$

T คือ คาบของการ oscillate

เมื่อ $t = T$ ดังนั้นกำหนด $VC2(T) = 0$, $d\{VC2(t)/dt\} > 0$, และ sinewave มีคาบ $= 2\pi$

$$\omega_0 = 1/T$$

$$2\pi = \omega_0(T - T1) + \tan^{-1}(\omega_0 T1)$$

$$T = 2\pi T + T1 - T \tan^{-1}[T1/T1] \quad -17)$$

NONUNITY LOOP GAIN

ในทางปฏิบัติ loop gain ไม่เท่ากับ 1 ในตอนนี้จะกล่าวถึงการวิเคราะห์เมื่อ $m > 1$ และ $m < 1$

$$V1(s) = V4(s) = -mV3(s) \quad -18)$$

$$VC2(s) = [V2(s) + TVC2(0)]/(1+sT)$$

$$V3(s) = [(1-sT)V2(s) + 2TVC2(0)]/(1+sT) = VI$$

เอกสารนี้เป็นเอกสารที่สงวนไว้สำหรับการใช้งานเพื่อการศึกษาเท่านั้น เมื่อนำไปใช้ประโยชน์ด้านการค้า

$$V2(s) = [(1-sT)V1(s) + 2TVC1(0)]/(1+sT) \quad -19)$$

ไม่ว่ากรณีใดๆทั้งสิ้น อีกทั้งห้ามมิให้ดัดแปลงเนื้อหา และต้องอ้างอิงถึงเจ้าของเอกสารทุกครั้งที่มีการนำไปใช้

จาก 18 จะได้ว่า

$$V1(s) = [(1+sT) - 2TV C1(0)] / (1-sT) \tag{20}$$

18=20 หาค่า V2(s) และ VC2(s)

$$V2(s) = [-2mT(1-sT)VC2(0) + 2T(1+sT)VC1(0)] / [(1+sT)^2 + m(1-sT)^2]$$

$$VC2(s) = 2TV C1(0) / [1+m+2sT(1-m)+s^2T^2(1+m)] + [T-mT+2sT^2+s^2T^3(1+m)]VC2(0) / [(1+sT)^2 + m(1-sT)^2]$$

กำหนดให้ $P1(s) = 1+m + s[2T(1-m)] + s^2[T^2(1+m)]$

$$P2(s) = [T(1-m)] + s(2T^2) + s^2[T^3(1+m)]$$

$$P3(s) = 1+sT$$

ดังนั้น $VC2(s) = [P2(s) / P1(s)] VC2(0) + [2T / P1(s)] VC1(0) \tag{21}$

พิจารณาให้ s1 ปิด เมื่อ VC2(t)=0 ดังนั้น VC2(0)=0

$$VC2(t) = 2TV C1(0) / [(1+m) + s(2T(1-m))] + s^2 T^2 / (1+m)]$$

ให้ $G = (1-m) / (1+m)$

$$VC2(t) = 2TV C1(0) / (1+m) [(sT)^2 + 2GsT + 1] = 2VC1(0) / (1+m) T [(s+G/T)^2 + (1-G^2)/T^2]$$

$$1-G^2/T = [2m^{1/2} / T(1+m)]^2$$

$$VC2(t) = 2VC1(0) / (1+m) T [(s+G/T)^2 + [2m^{1/2} / T(1+m)]^2]$$

INVERSE LAPLACE

$$VC2(t) = [VC1(0)e^{-Gt/T} / (1+m)T] [1/2] \sin 2m^{1/2}t / (1+m)T \tag{22}$$

$$VC2(t) = [VC1(0)e^{-Gt/T} / (1+m)T] [1/2] \sin [2m^{1/2} \omega_0 t / (1+m)] \tag{23}$$

จะเห็นว่า เมื่อ m < 1 : G จะเป็นบวก VC2(t) จะกลายเป็น damp ลดลงเรื่อยๆจนเป็นศูนย์ แต่ถ้า m > 1 : G จะเป็นลบ ทำให้เกิดการ oscillate ขึ้น แต่จะเป็นเหตุให้เกิดการผิดเพี้ยนขึ้นและความถี่ก็ผิดพลาดไป

คาบของการ oscillate

VC2(t)=0 และ d{VC2(t)} / dt = 0 ที่ t=T

$$T = \pi(1+m)T / m^{1/2} \tag{24}$$

UNEQUAL TIME CONSTANTS

ในทางปฏิบัติ T_1, T_2 ไม่เท่ากัน จึงมีการวิเคราะห์ดังนี้

$$V_3(s) = [(1-sT_2)V_2(s) + 2T_2VC_2(0)] / (1+sT_2)$$

$$V_3(s) = -V_1(s)$$

$$V_2(s) = [(1-sT_1)V_1(s) + 2T_1VC_1(0)] / (1+sT_1)$$

$$V_2(s) = [T_1(1+sT_2)VC_1(0) - T_2(1-sT_1)VC_2(0)] / (1+s^2T_1T_2)$$

$$VC_2(s) = V_2(s) / (1+sT_2) + T_2VC_2(0) / (1+sT_2)$$

$$VC_2(s) = [VC_1(0)/T_2][1 / (s^2 + 1/(T_1T_2))] + sVC_2(0) / (s^2 + 1/(T_1T_2))$$

INVERSE LAPLACE

$$VC_2(t) = [\sqrt{(T_1/T_2)}VC_1(0)\sin[\sqrt{(T_1/T_2)}]t + VC_2(0)\cos[\sqrt{(T_1/T_2)}]t$$

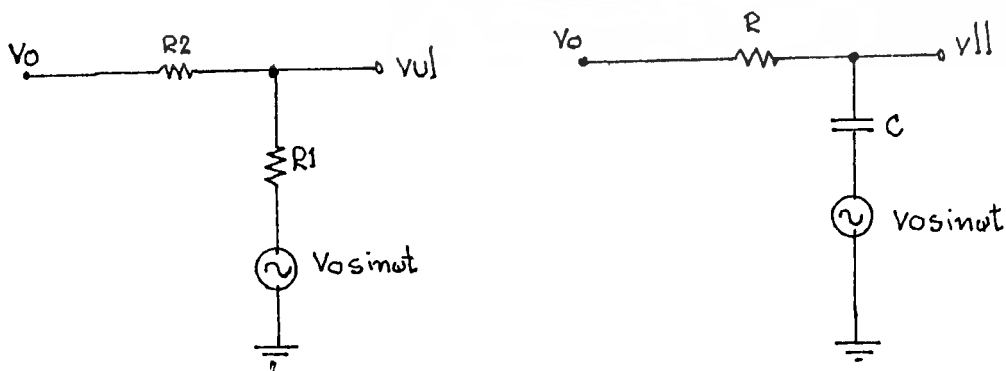
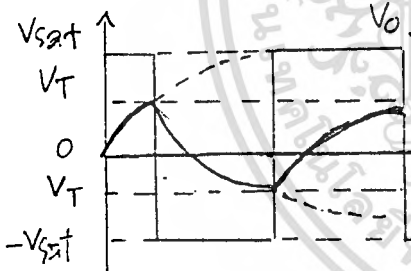
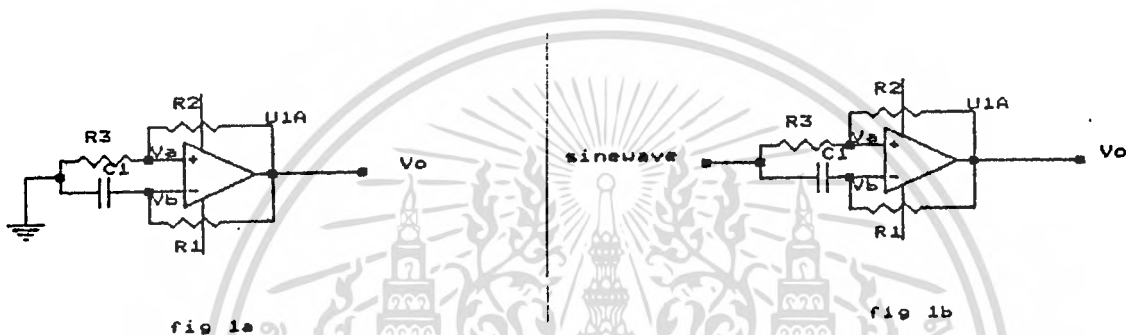
$$VC_2(t) = \{ \sqrt{[(T_1/T_2)[VC_1(0)]^2 + VC_2(0)^2]} \sin[t/\sqrt{(T_1T_2)} + A_{12}]$$

$$A_{12} = \tan^{-1} [(T_2/T_1)^{1/2} (VC_2(0)/VC_1(0))] \quad -25)$$

จะเห็นว่าขนาดของ output ขึ้นอยู่กับอัตราส่วน T_1/T_2 ดังนั้นขณะที่ความถี่เปลี่ยนแปลงจะทำให้อัตราส่วน T_1/T_2 ไม่เท่ากับ 1 : ขนาดของ output ก็จะเปลี่ยนไปด้วยกรณีนี้จะไม่เกิดการ distortion. ขึ้น

PULSE WIDTH MODULATION

สัญญาณ pwm เกิดจากการนำสัญญาณ sine wave ที่มีขนาดสัญญาณคงที่ซึ่งสามารถปรับช่วงความถี่ตั้งแต่ 0-100 Hz นำมา modulation กับวงจร free running multivibrator ดังรูปที่ 1b ใช้หลักการสร้างสัญญาณ pwm โดยอาศัยการชาร์จ และการคายประจุของ ตัวเก็บประจุ มาเปรียบเทียบกับ sine wave จาก oscillator



เอกสารนี้เป็นเอกสารที่สงวนไว้สำหรับการใช้งานเพื่อการศึกษาเท่านั้น ไม่อนุญาตให้นำไปใช้ประโยชน์ด้านการค้า ไม่ว่าจะกรณีใดๆทั้งสิ้น อีกทั้งห้ามมิให้ตัดแปลงเนื้อหา และต้องอ้างอิงถึงเจ้าของเอกสารทุกครั้งที่มีการนำไปใช้

$$V_{u1} = \frac{[v_0 - v_0 \sin \omega t] R_1 + v_0 \sin \omega t}{R_1 + R_2}; \quad V_{l1} = \frac{-[v_0 + v_0 \sin \omega t] R_1 + v_0 \sin \omega t}{R_1 + R_2}$$

$$iR + \frac{1}{C} \int i dt = v_0 - v_0 \sin \omega t$$

$$\frac{di}{dt} + \frac{i}{RC} = \frac{-v_0 \omega \cos \omega t}{R}$$

$$i = e^{-t/RC} \left[-\frac{v_0 \omega}{R} \int \cos \omega t e^{t/RC} dt + c \right]$$

$$\int \cos \omega t e^{t/RC} dt = \frac{e^{t/RC}}{R} \left[\frac{R^2 C^2 \sin \omega t}{1 + (\omega RC)^2} + RC \cos \omega t \right]$$

$$i = \frac{-v_0 \left[\frac{R^2 C^2 \sin \omega t}{1 + (\omega RC)^2} + \omega RC \cos \omega t \right] + c e^{-t/RC}}{R}$$

$$i_{(0)} = \frac{v_0 - v_{l1}}{R} = \frac{v_0 + (v_0 + v_0 \sin \omega t) R_1 - v_0 \sin \omega t}{R_1 + R_2}$$

ที่ $t = 0$ จะได้

$$c = \frac{[v_0 + (v_0 + v_0 \sin \omega t) R_1 - v_0 \sin \omega t]}{R_1 + R_2} + \frac{v_0 \omega C}{1 + (\omega RC)^2}$$

$$i = \frac{1}{R} \frac{[v_0 + (v_0 + v_0 \sin \omega t) R_1 - v_0 \sin \omega t] + \frac{v_0 \omega C R}{1 + (\omega RC)^2} e^{-t/RC}}{R_1 + R_2} - \frac{v_0 \left[\frac{R^2 C^2 \sin \omega t}{1 + (\omega RC)^2} + \omega RC \cos \omega t \right]}{1 + (\omega RC)^2}$$

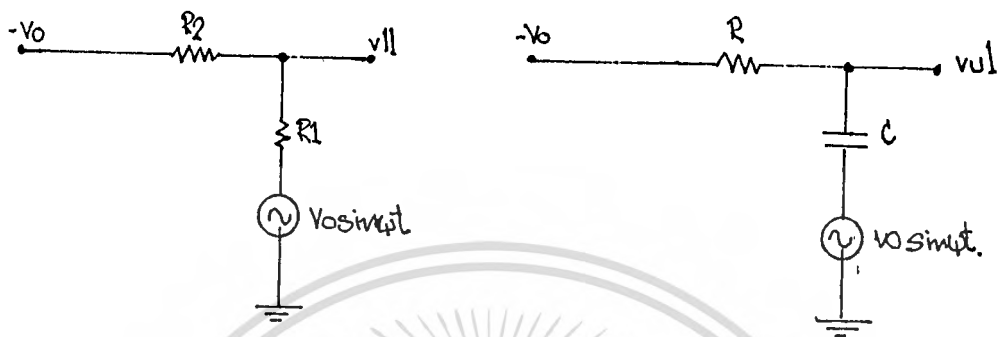
$$V_{u1} = v_0 - vR$$

$$= v_0 - \frac{[(v_0 + v_0 \sin \omega t) R_1 - v_0 \sin \omega t + v_0 \omega C R] e^{-t/RC}}{R_1 + R_2} - \frac{v_0 \left[\frac{R^2 C^2 \sin \omega t}{1 + (\omega RC)^2} + \omega RC \cos \omega t \right]}{1 + (\omega RC)^2}$$

เอกสารนี้เป็นเอกสารที่สงวนไว้สำหรับบริการเชิงงานเพื่อการศึกษาเท่านั้น เมื่อนุญาตให้นำไปใช้ประโยชน์ด้านการค้าไม่ว่ากรณีใดๆทั้งสิ้น อีกทั้งห้ามมิให้ตัดแปลงเนื้อหา และต้องอ้างอิงถึงเจ้าของเอกสารทุกครั้งที่มีการนำไปใช้

$$\frac{v_o[(\sqrt{RC})^2 \sin \omega t + \sqrt{RC} \cos \omega t]}{1 + (\sqrt{RC})^2}$$

$$t_1 = RC \ln \left[\frac{(1 + (\sqrt{RC})^2)(2R_1 + R_2 - R_2 \sin \omega t) + (R_1 + R_2)\sqrt{RC}}{(1 + (\sqrt{RC})^2)(R_2(1 - \sin \omega t) + (R_1 + R_2)((\sqrt{RC})^2 \sin \omega t + \sqrt{RC} \cos \omega t))} \right]$$



$$V_{11} = \frac{-(v_o \sin \omega t + v_o)R_1 + v_o \sin \omega t}{R_1 + R_2}; \quad V_{12} = \frac{(-v_o \sin \omega t + v_o)R_1 + v_o \sin \omega t}{R_1 + R_2}$$

$$i_{R+1} \int dt = \frac{v_o + \sin \omega t}{C}$$

$$i = \frac{v_o[(\sqrt{RC})^2 \sin \omega t + \sqrt{RC} \cos \omega t]}{1 + (\sqrt{RC})^2} + ce^{-t/RC}$$

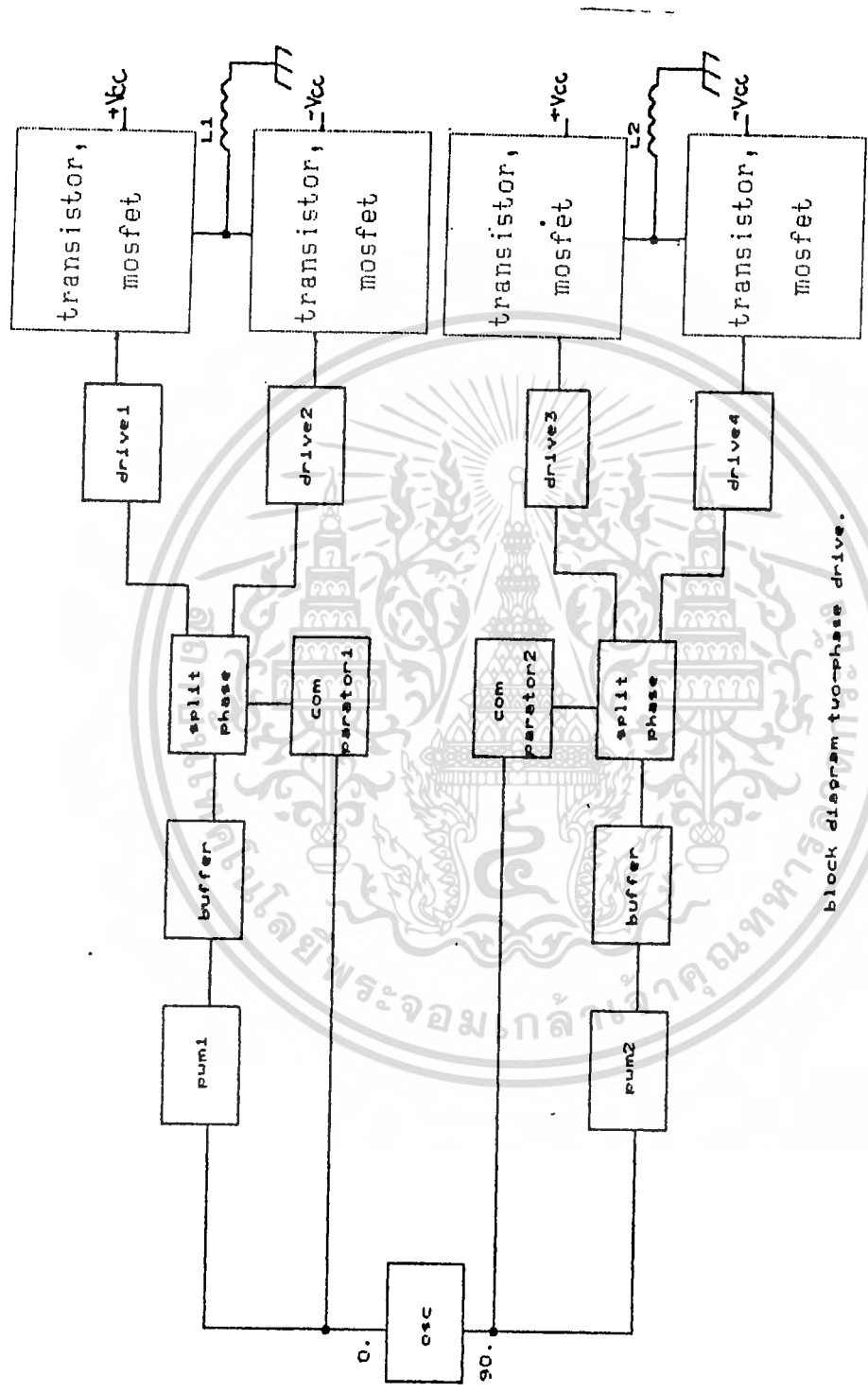
$$C = \left[\frac{v_o + (v_o - v_o \sin \omega t)R_1 + v_o \sin \omega t}{R_1 + R_2} \right] / R - \frac{v_o[\sqrt{C}]}{1 + (\sqrt{RC})^2}$$

$$i = \left[\frac{v_o + (v_o - v_o \sin \omega t)R_1 + v_o \sin \omega t}{R_1 + R_2} \right] / R - \frac{v_o[\sqrt{C}]}{1 + (\sqrt{RC})^2} e^{-t/RC} + \frac{v_o[(\sqrt{RC})^2 \sin \omega t + \sqrt{RC} \cos \omega t]}{1 + (\sqrt{RC})^2}$$

$$V_{11} = v_R - v_o$$

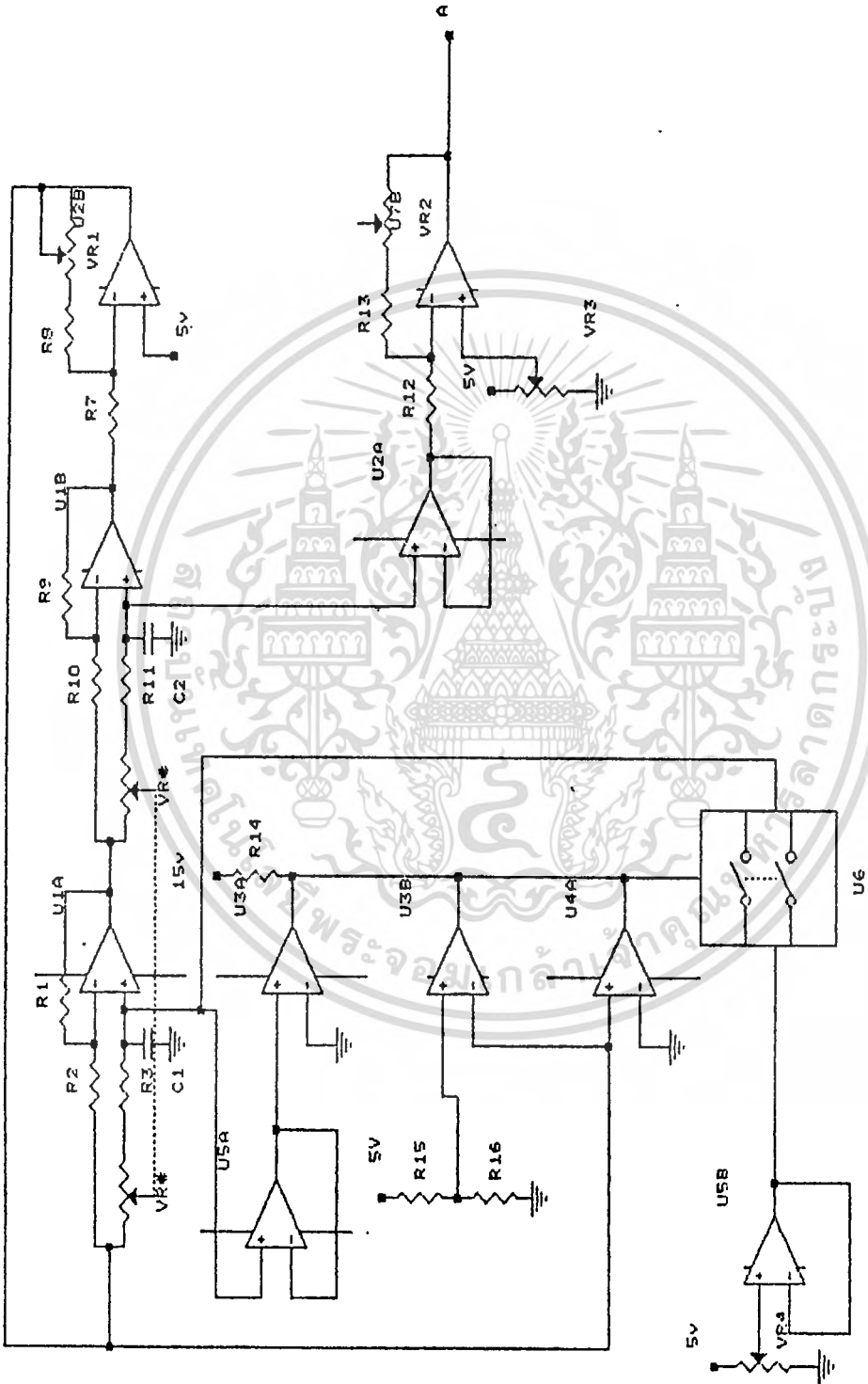
$$t_2 = RC \ln \left[\frac{(1 + (\sqrt{RC})^2)(2R_1 + R_2 + R_2 \sin \omega t) - (R_1 + R_2)\sqrt{RC}}{(R_2 + R_2 \sin \omega t)(1 + (\sqrt{RC})^2) - (R_1 + R_2)((\sqrt{RC})^2 \sin \omega t + \sqrt{RC} \cos \omega t)} \right]$$

เอกสารนี้เป็นเอกสารที่สงวนไว้สำหรับการใช้งานเพื่อการศึกษาเท่านั้น ไม่อนุญาตให้นำไปใช้ประโยชน์ด้านการค้า ไม่ว่าจะกรณีใดๆทั้งสิ้น อีกทั้งห้ามมิให้ตัดแปลงเนื้อหา และต้องอ้างอิงถึงเจ้าของเอกสารทุกครั้งที่มีการนำไปใช้

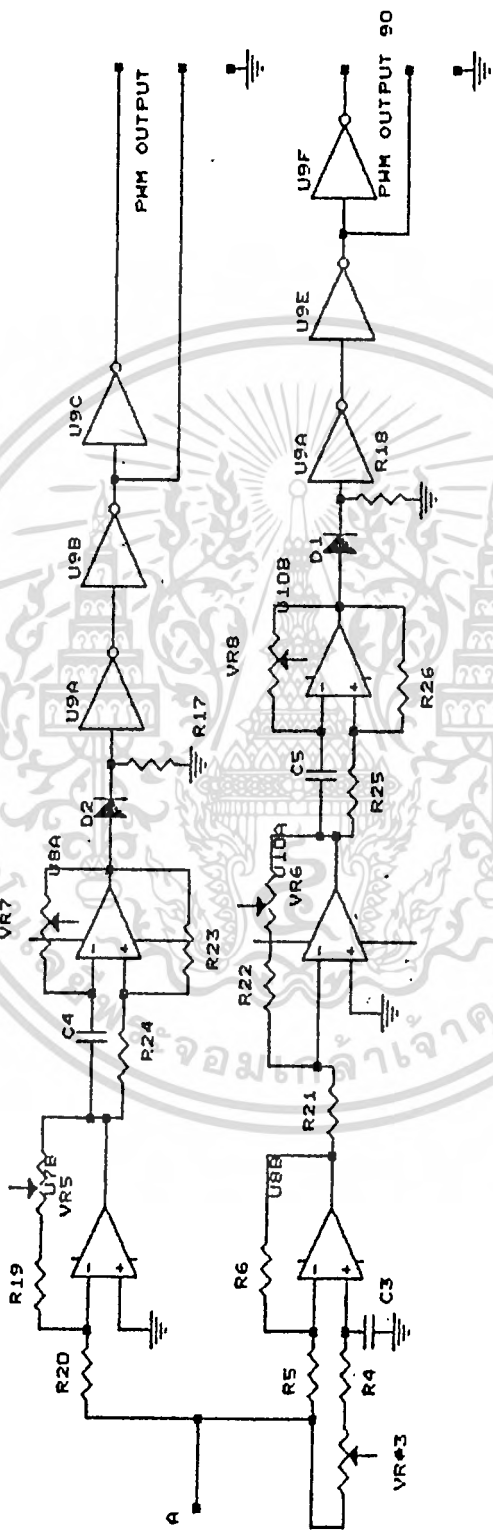


block diagram two-phase drive.

เอกสารนี้เป็นเอกสารที่สงวนไว้สำหรับการใช้งานเพื่อการศึกษาเท่านั้น ไม่อนุญาตให้นำไปใช้ประโยชน์ด้านการค้า
ไม่ว่ากรณีใดๆทั้งสิ้น อีกทั้งห้ามมิให้ดัดแปลงเนื้อหา และต้องอ้างอิงถึงเจ้าของเอกสารทุกครั้งที่มีการนำไปใช้



เอกสารนี้เป็นเอกสารที่สงวนไว้สำหรับการใช้งานเพื่อการศึกษาเท่านั้น ไม่อนุญาตให้นำไปใช้ประโยชน์ด้านการค้า
ไม่ว่ากรณีใดๆทั้งสิ้น อีกทั้งห้ามมิให้ตัดแปลงเนื้อหา และต้องอ้างอิงถึงเจ้าของเอกสารทุกครั้งที่มีการนำไปใช้



เอกสารนี้เป็นเอกสารที่สงวนไว้สำหรับการใช้งานเพื่อการศึกษาเท่านั้น ไม่อนุญาตให้นำไปใช้ประโยชน์ด้านการค้า
ไม่ว่ากรณีใดๆทั้งสิ้น อีกทั้งห้ามมิให้ดัดแปลงเนื้อหา และต้องอ้างอิงถึงเจ้าของเอกสารทุกครั้งที่มีการนำไปใช้

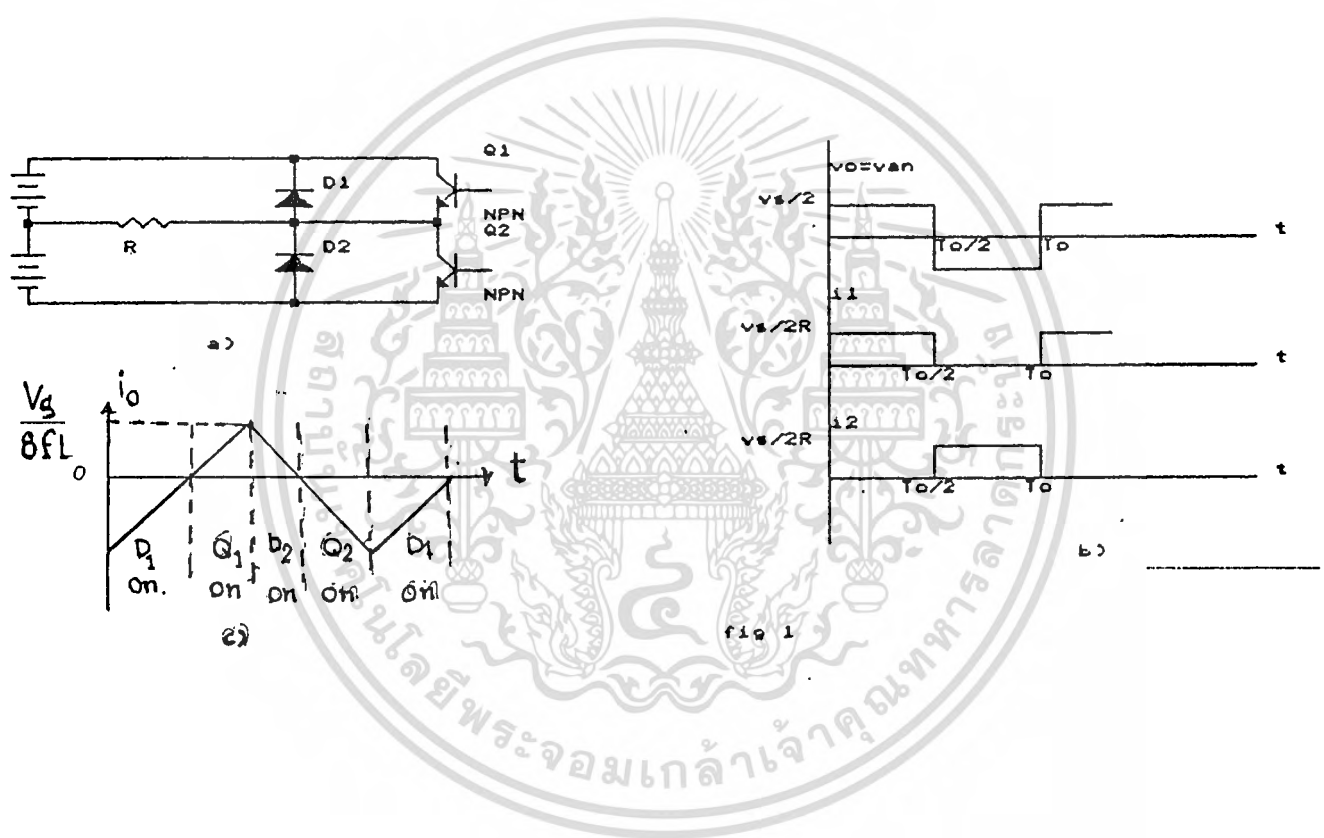
หลักการทํางานของวงจร OSCILATOR และภาค PWM

สำหรับภาคเรียนที่ 2 มีการปรับปรอง ภาคไดร์เป็น 2 เฟสไดร์ ดังนั้นสัญญาณก็จะนำเข้าไป Transistor หรือ เฟสที่ 2 จะต้องมีการ shift ไปอีก 90° พิจารณาจากรูป หัวใจหลักของวงจร OSCILATOR U1A , U1B และ U2B U1A, U1B ต่อเป็นวงจร First Order RC. PhaseShifter. U2B ทำหน้าที่เป็นตัว Invert สัญญาณและกลับเฟส Feedback ป้อนกลับเข้ามาที่ U2A เป็นลักษณะของ Negative Feedback ปรับความถี่ของวงจร โดยมี U3A U4A เป็น Window Comparator สร้าง Pulse แคบ ๆ ไปเปิด U6 เมื่อช่วงที่ Amplitude ตกจะมี Pulse แคบ ๆ ไปทริก C1 ทำให้สัญญาณ Sine Output มีขนาดคงที่ U2A ทำหน้าที่เป็น Buffer UA ทำหน้าที่ปรับระดับสัญญาณ อยู่ที่ระดับศูนย์ และปรับขนาดที่ต้องการ U7B ทำหน้าที่ปรับขนาดที่จะป้อนสู่ U8A เป็นตัวสร้าง PWM Inverter ทั้ง 2 ตัวทำหน้าที่กลับเฟส 180° เพื่อให้ทำการ Lock เฟส ในภาค Drive ไม่ให้ Mosfet on พร้อมกัน 2 ตัว

U8B เป็นตัว Phase shift สัญญาณ Sine ไป 90° โดย VR#3 ปรับความถี่โดย VR#1, VR#2, VR#3 นำมาดัดแปลงต่อแกนร่วมกัน ดังนั้นความถี่ชุดหลังจึงมีเฟสต่างไป 90° ของทุกความถี่หลัก U1UA, U1OB ทำงานเช่นเดียวกับชุดที่กล่าวตอนต้น สัญญาณที่ PWM ชุดนี้จะมีอัตราส่วนต่างกับ PWM ชุดแรก เนื่องจากชุด RUN และ ชุด STAST มี Reactance โดยชุด RUN มี Reactance สูงกว่า ชุด START ทำให้กระแสไหลผ่านสูงกว่า จึงต้องจัดความถี่ของชุด START ซึ่งมี Reactance ต่ำกว่าให้ f สูงกว่าประมาณ 3 เท่า เพื่อให้กระแสที่ไหลเป็นสัดส่วนที่เท่าเทียมกัน

SINGLE-PHASE HALF-BRIDGE INVERTER

หลักการของ SINGLE-PHASE INVERTER สามารถอธิบายได้ในรูปที่ 1a วงจร INVERTER ประกอบด้วยตัวตัด (CHOPPER) 2 ตัว ซึ่ง Q1 และ Q2 จะสลับกันทำงาน เมื่อ Q1 TURN ON , Q2 จะ TURN OFF ในช่วงเวลา $T_{o/2}$ แรงดันที่ตกคร่อม LOAD จะเป็น $V_{s/2}$ และในทางตรงกันข้าม เมื่อ Q2 TURN ON , Q1 TURN OFF ในช่วงเวลา $T_{o/2}$ แรงดันที่ตกคร่อม LOAD จะเป็น $-V_{s/2}$ ดูรูปคลื่นที่รูป 1b สำหรับ LOAD ที่เป็น RESISTIVE LOAD



RMS OUTPUT VOLTAGE หาได้จาก

$$V_o = \left[\frac{2}{T_o} \int_0^{T_o/2} V_s^2 dt \right]^{1/2} = V_s / 2 \quad (1)$$

INSTANTANEOUS OUTPUT VOLTAGE สามารถแสดงโดย FOURIER SERIES

$$V_o = \sum_{n=1,3,5,\dots}^{\infty} 2V_s / n\pi \sin n\omega t \quad (2)$$

$$V_o = 0 \quad \text{สำหรับ } n=2,4$$

ที่ $\omega = 2\pi f$ คือ ความถี่ output สำหรับ $n=1$ สมการที่ 2 หาค่า rms ของ fundamental component

$$V_{o1} = 2V_s / \sqrt{2}\pi = 0.45 V_s \quad (3)$$

สำหรับ inductive load กระแสที่ load ไม่สามารถเปลี่ยนแปลงทันทีทันใดได้ ถ้า Q_1 turn off ที่ $t=T_o/2$ กระแสที่ไหลตักยังไหลอยู่โดยผ่าน D_2 , load และแหล่งจ่ายชักลับ จนกระทั่งกระแสตกเป็น 0 ในทำนองเดียวกัน เมื่อ Q_2 turn off ที่ $t=T_o$ กระแสที่ไหลจะไหลผ่าน D_1 , load และแหล่งจ่ายชักลับ เมื่อใดที่ D_1 หรือ D_2 conduct พลังงานจะส่งกลับมายัง DC SOURCE และ DIODE นี้เรียกว่า DIODE FEEDBACK กระแสใน inductive load ในรูป 1c

SINGLE-PHASE FULL-BRIDGE INVERTER

วงจร full-bridge inverter ดังรูป 2a จะประกอบด้วยตัวตัด (chopper) 4ตัว การทำงาน Q_1 และ Q_2 จะทำงานพร้อมกันและ Q_3 , Q_4 จะทำงานพร้อมกัน เมื่อ Q_1 , Q_2 turn on แรงดันที่ตกคร่อม load จะเป็น V_s ถ้า Q_1 , Q_3 turn on แรงดันตกคร่อม load จะกลับทาง คือ $-V_s$ รูปคลื่น V_o ดูจากรูป 2b

RMS OUTPUT VOLTAGE หาได้จาก

เอกสารนี้เป็นเอกสารที่สงวนไว้สำหรับการใช้งานเพื่อการศึกษาเท่านั้น ไม่อนุญาตให้นำไปใช้ประโยชน์ด้านการค้า ไม่ว่าจะกรณีใดๆทั้งสิ้น อีกทั้งห้ามมิให้ตัดแปลงเนื้อหา และต้องอ้างอิงถึงเจ้าของเอกสารทุกครั้งที่มีการนำไปใช้

$$V_o = \left[\frac{2}{T_o} \int_0^{T_o/2} V_u^2 dt \right]^{1/2} = V_u \quad (4)$$

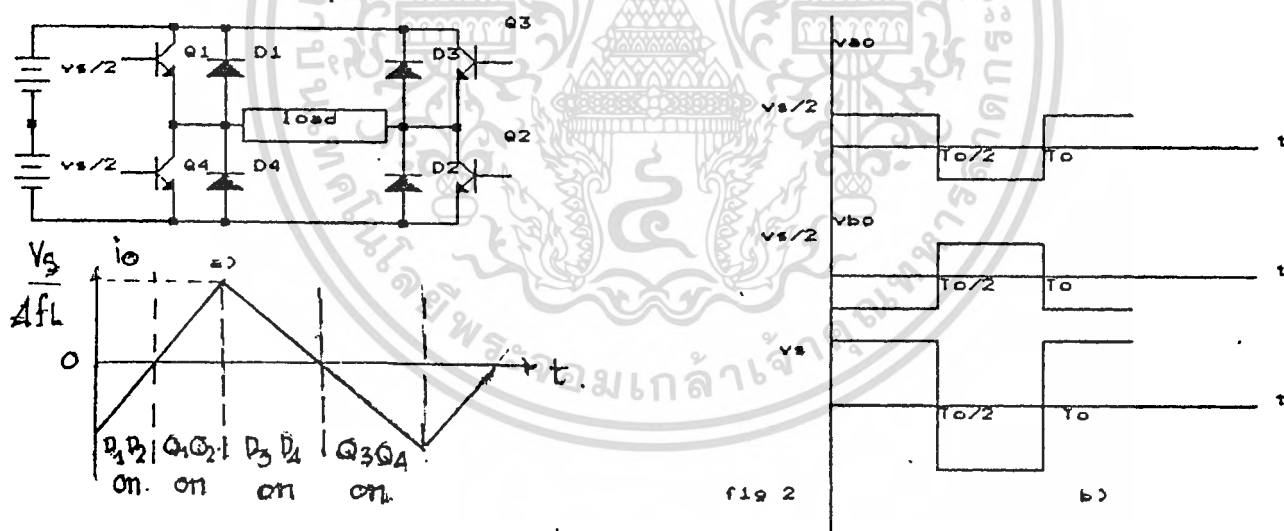
INSTANTANEOUS OUTPUT VOLTAGE

$$V_o = \sum_{n=1,3,5,\dots} 4V_u / n\pi \sin n\omega t \quad (5)$$

สำหรับ $n=1$ ลมการ 5 ค่า rms fundamental component

$$V_L = 4V_u / \sqrt{2}\pi = 0.9 V_u \quad (6)$$

เมื่อ D_1 และ D_2 conduct พลังงานจะส่งกลับมายัง DC SOURCE รูป 2c รูปคลื่นกระแสที่ inductive load.



เอกสารนี้เป็นเอกสารที่สงวนไว้สำหรับการใช้งานเพื่อการศึกษาเท่านั้น ไม่อนุญาตให้นำไปใช้ประโยชน์ด้านการค้า
ไม่ว่ากรณีใดๆทั้งสิ้น อีกทั้งห้ามมิให้ดัดแปลงเนื้อหา และต้องอ้างอิงถึงเจ้าของเอกสารทุกครั้งที่มีการนำไปใช้

PROTECTION FOR TRANSISTER BRIDGE INVERTER.

โดยส่วนมาก POWER TRANSISTER อาจจะไม่เสียหายได้ เนื่องจาก SURGE VOLTAGE หรือ CURRENT ที่เกินอัตราของทรานซิสเตอร์ แม้ว่าจะเป็นเวลาสั้นๆก็ตามเราไม่สามารถป้องกันโดยใช้ FUSE หรือ FAST ACTING CIRCUIT BREAKER ได้ จึงจำเป็นต้องมีวงจรป้องกันตัว POWER TRANSISTER

จากวงจรรูปที่ 1 สมมติให้ ช่วงเวลา "ON" และ "OFF" ต่างกันเล็กน้อย ดังนั้น LOAD CURRENT. จึงคงที่ ขณะที่ทรานซิสเตอร์ทำงานเป็น SWITCH พิจารณาจากรูป T1, T4 จะทำงานลึบกัน เช่นเดียวกับ T2, T3 แต่ระหว่างการทำงานจะมีการเปลี่ยนแปลงของ LOAD CURRENT อย่างรวดเร็ว เป็นเหตุให้เกิด HIGH VOLTAGE SPIKE ทำให้ทรานซิสเตอร์เสียหายได้ จึงต่อ DIODE คร่อมทรานซิสเตอร์ดังรูปที่ 1 เพื่อให้กระแสไหลผ่านในทิศทางเดียวกัน

OVER CURRENT PROTECTION AND BASE DRIVE CIRCUIT.

CIRCUIT DIAGRAM ในรูปที่ 2 IC1 เป็น OPTO COUPLE. ทำหน้าที่แยกแยะระหว่าง LOGIC และ POWER CIRCUIT นำสัญญาณผ่านเข้าทางขา INVERTING ของ LM 311 ซึ่งทำหน้าที่เป็น SINGLE SUPPLY INVERTING SCHMITT TRIGGER พิจารณาจากรูป 2

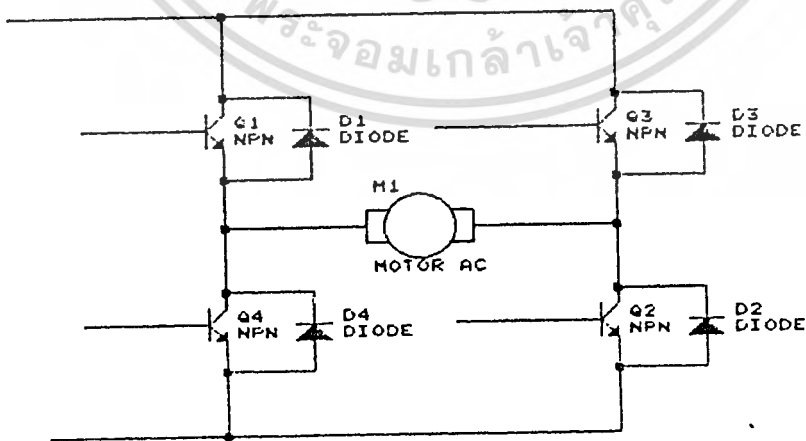


Fig 1 Transister Bridge Inverter

เอกสารนี้เป็นเอกสารที่สงวนไว้สำหรับการใช้งานเพื่อการศึกษาเท่านั้น ไม่อนุญาตให้นำไปใช้ประโยชน์ด้านการค้า
ไม่ว่ากรณีใดๆทั้งสิ้น อีกทั้งห้ามมิให้ตัดแปลงเนื้อหา และต้องอ้างอิงถึงเจ้าของเอกสารทุกครั้งที่มีการนำไปใช้

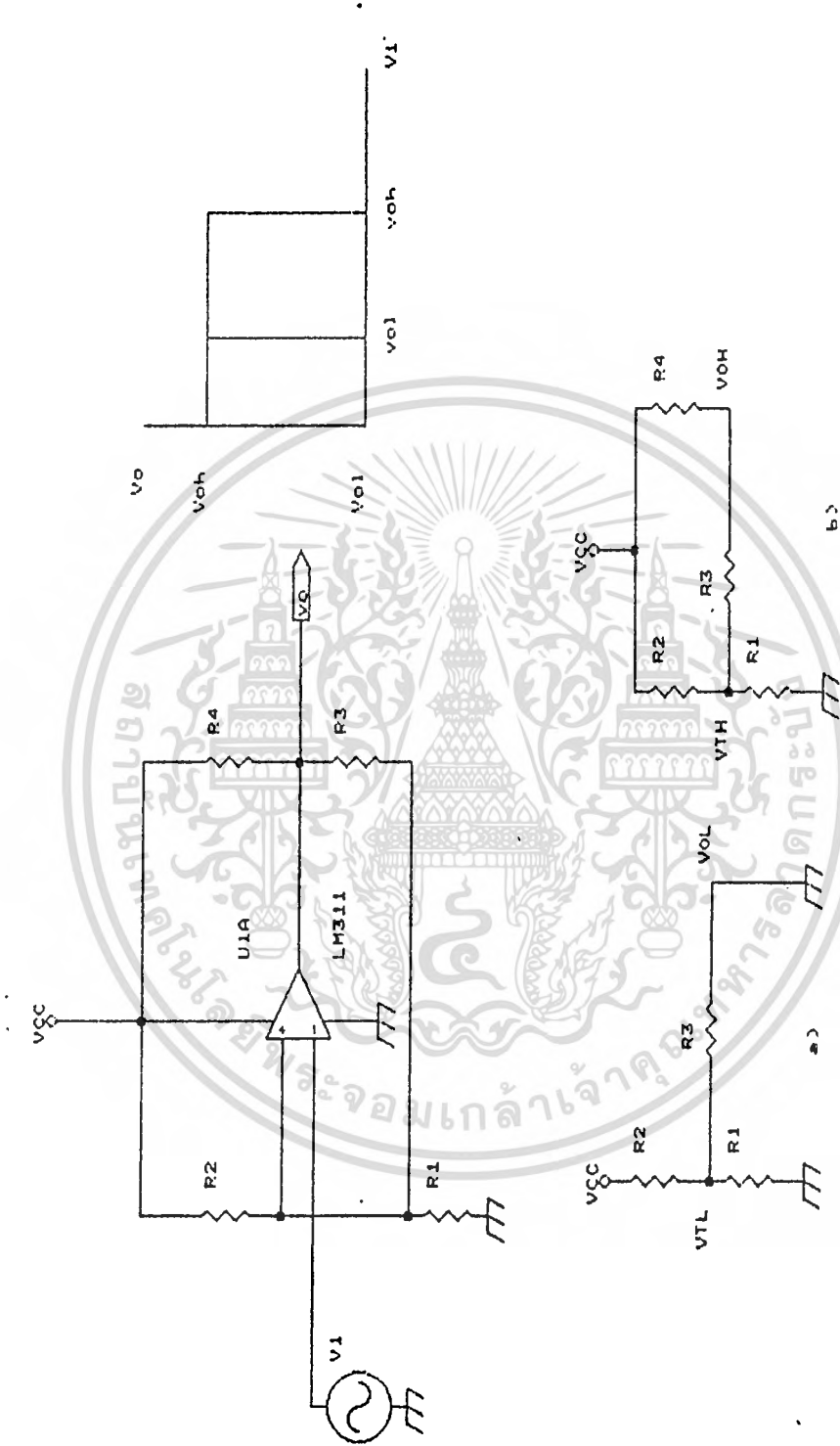


Fig 2

เอกสารนี้เป็นเอกสารที่สงวนไว้สำหรับการใช้งานเพื่อการศึกษาเท่านั้น ไม่อนุญาตให้นำไปใช้ประโยชน์ด้านการค้า
ไม่ว่ากรณีใดๆทั้งสิ้น อีกทั้งห้ามมิให้ดัดแปลงเนื้อหา และต้องอ้างอิงถึงเจ้าของเอกสารทุกครั้งที่มีการนำไปใช้

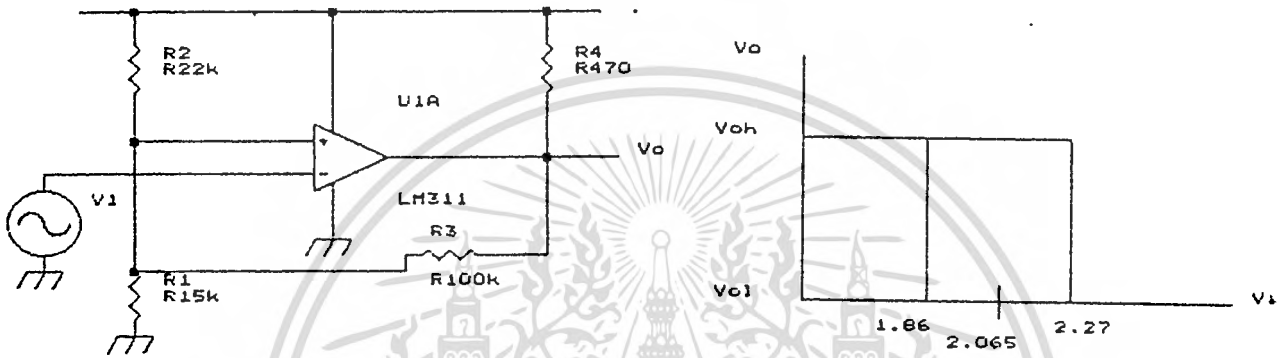
EQUIVALENTS OF THE CIRCUIT

a) $V_o = V_{o1}$

b) $V_o = V_{oh}$

$$V_{th} = R1 * V_{cc} (1 / (R1 + R2 // R3))$$

$$V_{t1} = (R1 // R3) * V_{cc} (1 / R1 // R2 + R3)$$



$$V_{t1} = 13.04k(5) / (13.04k + 22k) = 1.86 \text{ V.}$$

$$V_{th} = 15k(5) / (15k + 18.03k) = 2.27 \text{ V}$$

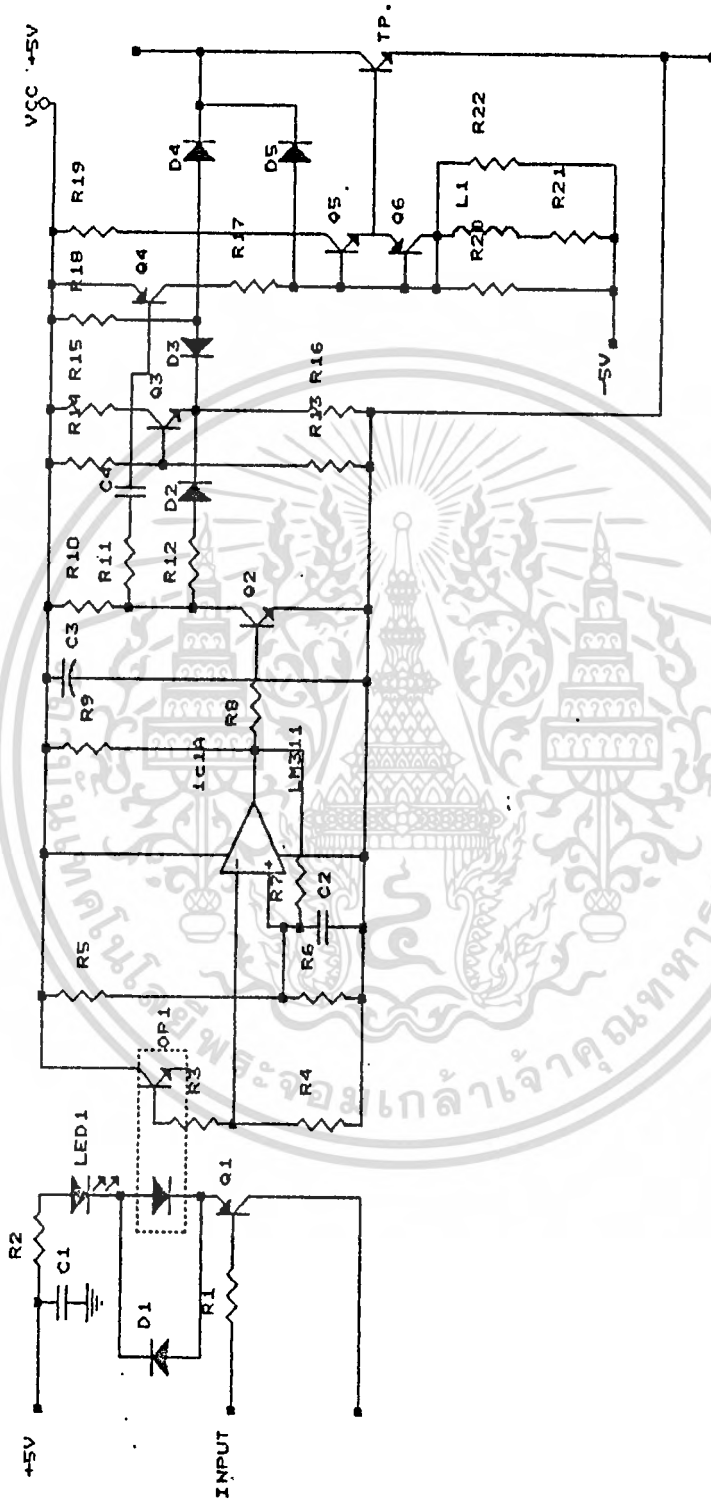
สัญญาณที่ OUTPUT ของ LM 311 จะมีเฟสเดียวกับ INPUT 2N2222 (T2) เป็น SW ทำหน้าที่กลับเฟส นำสัญญาณออกที่ขา C โดยผ่าน RC COUPLING ไปที่ T4 ซึ่งมีเฟสเดียวกับ INPUT สัญญาณออกขา C ไปควบคุม TIP 122 และ TIP12 ซึ่งเป็น MATCH PAIR ทำงานเป็นวงจร PUSH PULL ขั้วขาเบสของทรานซิสเตอร์กำลัง P6 ทำหน้าที่เป็น ANTI-SATURATE DIODE ซึ่งกำหนดกระแสเบสของทรานซิสเตอร์ในขณะ QUASI-SATURATION และขณะนำกระแส D5 ทำงานเป็น AUTO PROTECTION เมื่อ POWER TRANSISTOR นำกระแส แรงดันที่ตกคร่อม VCE มีค่าประมาณ 2.6 V ซึ่งกำหนดได้จาก R12 และ R13 ถ้าค่าแรงดันสูงกว่า 2.6 V Vc ของ T3 จะสูงกว่า Vb ซึ่งทำให้ T3 หยุดนำกระแส ในทางกลับกัน ก็จะทำให้ Tp หยุดนำกระแส วงจรที่กล่าวมานี้มีการออกแบบเป็น AUTO-REGULATED AND AUTO-PROTECTED BASE DRIVE มีข้อดี แบ่งเป็นข้อๆ ดังนี้

ไม่ว่ากรณีใดๆทั้งสิ้น อีกทั้งห้ามมิให้คัดแปลงเนื้อหา และต้องอ้างอิงถึงเจ้าของเอกสารทุกครั้งที่มีการนำไปใช้

1. กระแส SPIKE ขณะทรานซิสเตอร์นำกระแสและแรงดัน SPIKE ขณะหยุดนำกระแส สามารถควบคุมให้ลดลงได้
2. มีการกำจัดกระแส ในกรณีที่ลัดวงจร
3. POWER DISIPATION ในทรานซิสเตอร์ลดลง ซึ่งทำให้อุณหภูมิลดลงด้วย



เอกสารนี้เป็นเอกสารที่สงวนไว้สำหรับการใช้งานเพื่อการศึกษาเท่านั้น ไม่อนุญาตให้นำไปใช้ประโยชน์ด้านการค้า
ไม่ว่ากรณีใดๆทั้งสิ้น อีกทั้งห้ามมิให้ดัดแปลงเนื้อหา และต้องอ้างอิงถึงเจ้าของเอกสารทุกครั้งที่มีการนำไปใช้



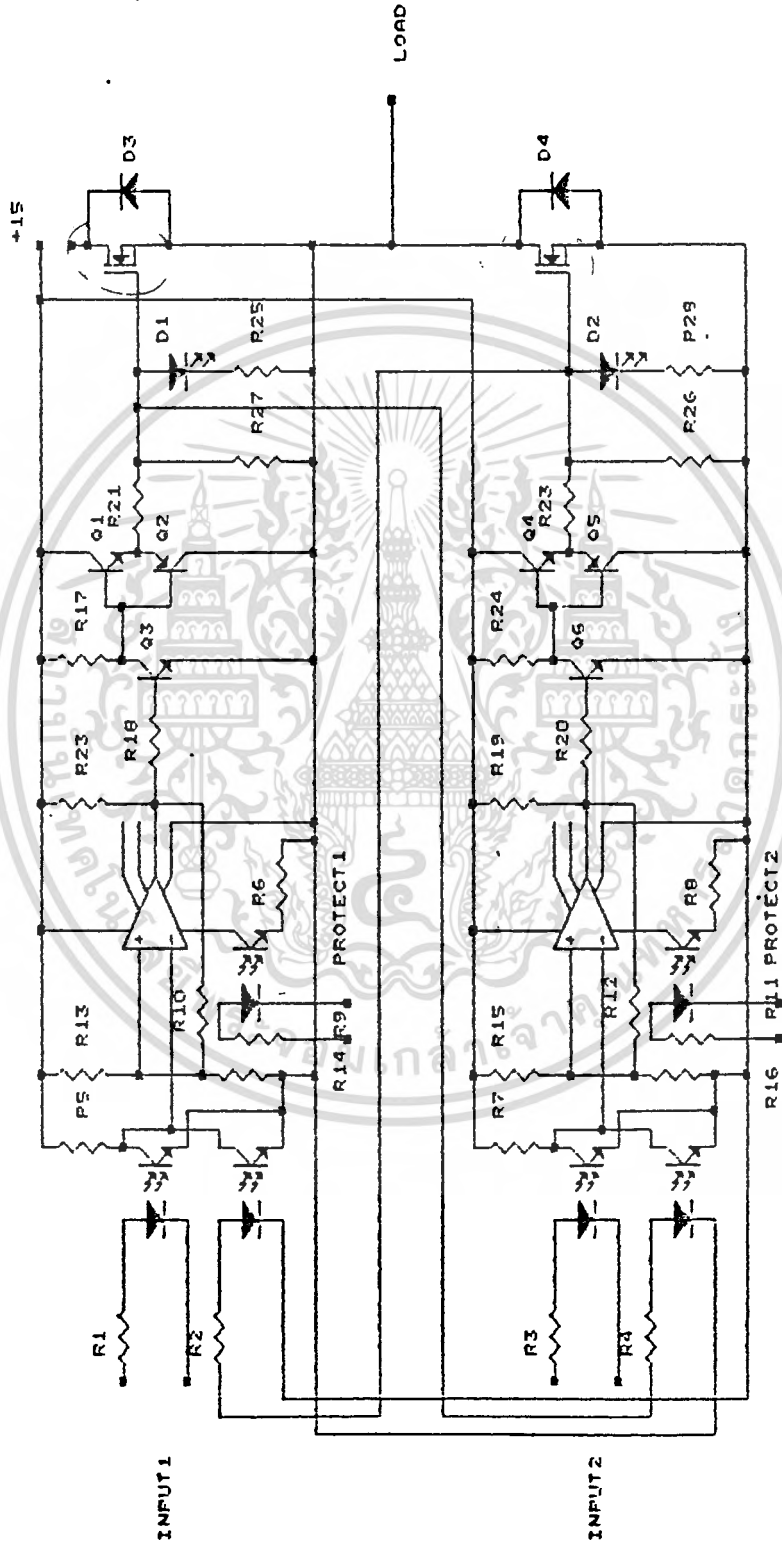
เอกสารนี้เป็นเอกสารที่สงวนไว้สำหรับการใช้งานเพื่อการศึกษาเท่านั้น ไม่อนุญาตให้นำไปใช้ประโยชน์ด้านการค้า
ไม่ว่ากรณีใดๆทั้งสิ้น อีกทั้งห้ามมิให้ตัดแปลงเนื้อหา และต้องอ้างอิงถึงเจ้าของเอกสารทุกครั้งที่มีการนำไปใช้

หลักการการทำงานของวงจร drive

สัญญาณ pwm ผ่าน opto couple เพื่อแยกกราวด์ระหว่างภาคควบคุมและภาคกำลัง สัญญาณที่ผ่าน opto couple จะมีเฟสต่างกันกับ สัญญาณอินพุต เข้า LM311 ซึ่งทำหน้าที่เป็นวงจร single supply inverting schmitttrigger เพื่อให้สัญญาณมีความคมชัดถูกต้อง สัญญาณตรงจุดนี้จะมีเฟสเดียวกับอินพุต Q3 เป็นตัวกลับเฟส สัญญาณส่งผ่าน Q2, Q1 ต่อเป็นวงจร push pull ส่งขับขาเกทของ มอสเฟต D1 เป็นตัวแสดงสภาวะการทำงาน

พิจารณาจากวงจร opto couple อีกชุดหนึ่งซึ่งมีการต่อเหมือนกับชุดแรก จะต่อให้ inter lock โดยนำสัญญาณทางด้าน เอ้าพทของอีกชุดหนึ่งมาต่อ lock สลับกัน เพื่อป้องกันกรณี on พร้อมกันของ มอสเฟต

ขา strobe ของ LM311 จะต้องปล่อยลอย แต่เมื่อต่อขา strobe ลง กราวด์ จะทำให้มีสัญญาณ 1 ทางเอ้าพทของ LM311 ดังนั้นจึงต่อ Q3 กลับเฟสของสัญญาณเพื่อหยุดการทำงานของ มอสเฟตซึ่งกล่าวต่อไปภาค protectionต่อไป



เอกสารนี้เป็นเอกสารที่สงวนไว้สำหรับการใช้งานเพื่อการศึกษาเท่านั้น ไม่อนุญาตให้นำไปใช้ประโยชน์ด้านการค้า
ไม่ว่ากรณีใดๆทั้งสิ้น อีกทั้งห้ามมิให้ตัดแปลงเนื้อหา และต้องอ้างอิงถึงเจ้าของเอกสารทุกครั้งที่มีการนำไปใช้

หลักการการทำงานของวงจร soft start

วงจร soft start คือวงจรที่ปรับมุมทริกของไฟลิ่ง ในวงจรที่ใช้งานใช้ ไอซี เบอร์ TDA 1185A ของบริษัท โมโตโรล่า ทำหน้าที่เป็น TRIAC PHASE ANGLE CONTROLLER หรือ คล้ายกับวงจรหรือไฟที่มีวงจรหน่วงเวลา TDA 1185A จะผลิตพัลส์ทริกเกอร์เพื่อไปควบคุม ไตรแอก มุมทริกกำหนดโดย ramp voltage ซึ่งเกิดพร้อมกับ เอซี ไลท์และนำมาเปรียบเทียบกับ external set voltage เป็นตัวกำหนดมุมต่างๆ เกท พัลส์จะเป็นลบ (กระแสซิงค์) ดังนั้น ไตรแอกจึงมีผลทาง ควอดรนต์ที่ 2 และ 3 มากที่สุด

เอซีไลท์ผ่านไดโอด เรกติไฟล์ผ่านตัวต้านทาน 18 โอห์ม , 2 วัตต์ จะได้ไฟลิ่งและถูกเร็กเลทโดย integrated zener ภายในตัว ไอซี trigger pulse จะมีความกว้างเป็นสัดส่วนกับ R10, C4 เมื่อมีความผิดพลาดเกิดขึ้น ขา 6 จะส่งพัลส์มาทริก ไตรแอกให้หยุดทำงาน และนอกจากนี้ TDA1185 ยังใช้ประโยชน์ในการป้องกันการเกิดกระแสอย่างทันทีทันใด หรือกล่าวง่ายๆว่า วงจร soft start firing angle จะเริ่มจาก 0 จนถึงค่าแรงดันที่ต้องการ และมีกระแสที่คงที่

หลักการการทำงานของวงจร protection

พิจารณาจากวงจร R1 มีค่า 1 โอห์มจากกฎของโอห์ม I กับ V จะแปรเป็นสัดส่วนกัน ดังนั้นเมื่อกระแสเกินระดับที่ตั้งไว้ทำให้วงจร comparator ทำงานทำให้ทรานซิสเตอร์ทำงานค้าง เนื่องจากตัวเก็บประจุ ทำให้รีเลย์ทำงานตัดไฟส่งจากมอเตอร์และไฟจากส่วนนี้จะส่งไป opto couple เพื่อบังคับขา strobe ส่งผลให้มอเตอร์หยุดทำงาน

หลักการการทำงานของวงจรแสดงผล

พิจารณาจากวงจรมำสัญญาณ sine wave ผ่านวงจร schmitttrigger เพื่อสร้างพัลส์ในรูปความถี่ เข้าวงจร precision frequency to voltage converter จะได้สูตรว่า

$$V_{out} = -f_{in} \times 2.09 \times R_f \times (R_t C_t) / R_s$$

เลือก $R_x = (V_s - 2) / 0.2 \text{ ma}$

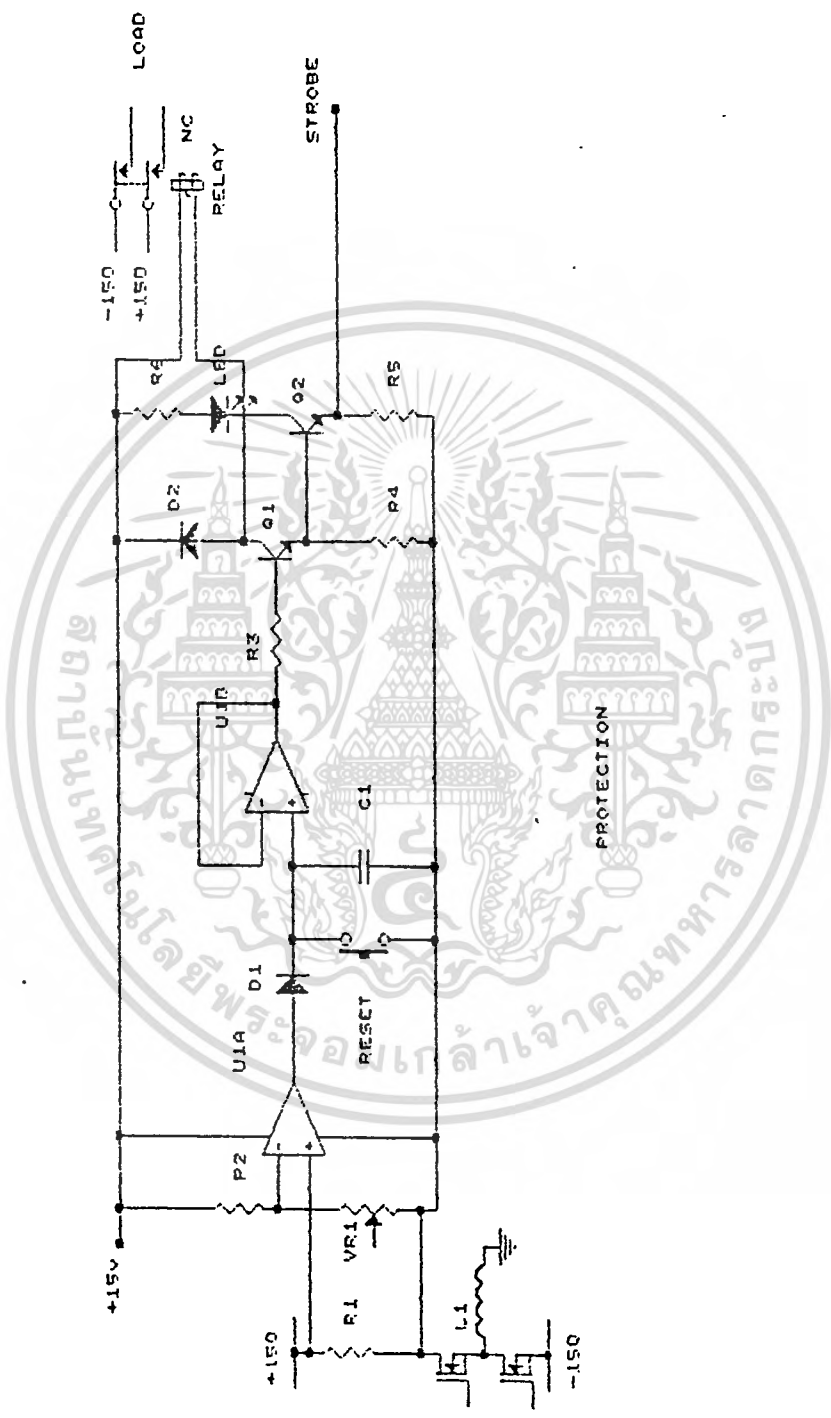
ในวงจร $R_s =$ ความต้านทานตรงขา 2

$R_t =$ ความต้านทานตรงขา 5

$C_t =$ ความต้านทานตรงขา 5

$R_f =$ ความต้านทานตรงขา 1

สำหรับวงจรที่มีความถี่สูงกว่า 1kHz จะมี ripple ต่ำกว่า 5 mV แต่วงจรที่มีความถี่ต่ำกว่า 200Hz จะมี ripple ค่อนข้างสูง นำแรงดันส่งไปยัง ICL7107 ทำงานเป็นดิจิตอลมิเตอร์ R4เป็นตัวปรับ calibrate ตัวเลข



เอกสารนี้เป็นเอกสารที่สงวนไว้สำหรับการใช้งานเพื่อการศึกษาเท่านั้น ไม่อนุญาตให้นำไปใช้ประโยชน์ด้านการค้า
ไม่ว่ากรณีใดๆทั้งสิ้น อีกทั้งห้ามมิให้ตัดแปลงเนื้อหา และต้องอ้างอิงถึงเจ้าของเอกสารทุกครั้งที่มีการนำไปใช้

คู่มือการใช้เครื่องควบคุมความเร็วอินดักชั่นมอเตอร์

หน้าปัทม์ด้านหน้าแสดงสวิทช์ เอชี่ หลอดไฟแสดงสถานะการ protection
ภาคแสดงความเร็วเป็นตัวเลข และปุ่มปรับความเร็ว

หน้าปัทม์ด้านข้างแสดง terminal ต่อไฟเข้ามอเตอร์ และนิวส์

การใช้งาน

เมื่อต่อ terminal เข้ากับมอเตอร์เรียบร้อยแล้ว ต่อไฟ 220 V เข้าเครื่องก็
สามารถใช้งานได้เลย โดยมี 7 segment เป็นตัวแสดงความเร็วที่ป้อนให้อินดักชั่น
มอเตอร์

เมื่อเกิดปัญหา กับเครื่องควบคุมความเร็วเครื่องนี้ วงจร protection
จะทำงานโดยอัตโนมัติ หลอดไฟจะติด แสดงให้เห็นว่ามีความผิดพลาดเกิดขึ้น
เพื่อป้องกันความผิดพลาดของ มอเตอร์



เอกสารนี้เป็นเอกสารที่สงวนไว้สำหรับการใช้งานเพื่อการศึกษาเท่านั้น ไม่อนุญาตให้นำไปใช้ประโยชน์ด้านการค้า
ไม่ว่ากรณีใดๆทั้งสิ้น อีกทั้งห้ามมิให้ดัดแปลงเนื้อหา และต้องอ้างอิงถึงเจ้าของเอกสารทุกครั้งที่มีการนำไปใช้

ผลการทดลอง

จากการทดลองปรับความเร็วของเครื่องควบคุมความเร็วที่กระแสจุดต่างๆ และที่ระดับความถี่ของ pwm แต่ละชุดต่างกันได้ผลดังตารางข้างล่างนี้

f (Hz)	I(A)ชุด start	I(A)ชุด run
111	0.95	0.18
100	1.00	0.24
90	1.15	0.30
80	1.29	0.28
71.4	1.44	0.28
66.67	1.51	0.23
50	1.52	0.38
40	1.59	0.46
34.4	1.48	0.54
30.7	1.42	0.58
22.7	1.44	0.66
20	1.44	0.70
17.2	1.44	0.82
13.5	1.50	0.96
8.9	1.64	1.10
8.3	1.74	1.15
5.9	2.00	1.22
4.8	2.72	1.18

$V_{supply} = 80 \text{ v}$; f ชุด start = 166.67 Hz ;

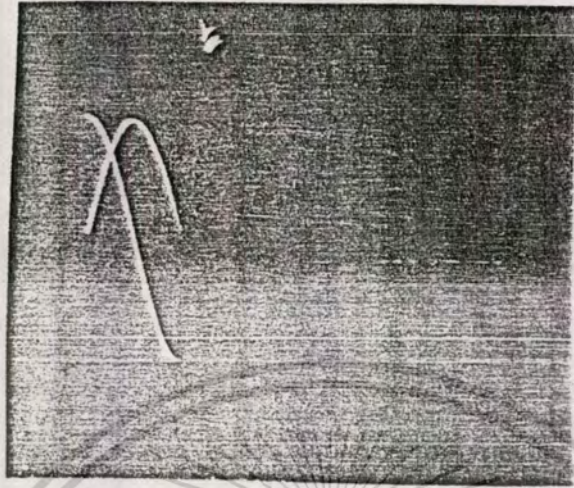
เอกสารนี้เป็นเอกสารที่สงวนไว้สำหรับการใช้งานเพื่อการศึกษาเท่านั้น ไม่นอญญาตใหนำไปไซประโยชน์ด้านการค้า
 f ชุด run = 250 Hz
 ไม่ว่าจะกรณีใดๆทั้งสิ้น อีกทั้งห้ามมเหตดแปลงเนื้อหา และตองอ้างอิงถึงเจ้าของเอกสารทุกครั้งที่มีการนำไปใช้

f(Hz)	I(A)ขุด start	I(A)ขุด run
111	0.07	0.14
100	0.07	0.14
87	0.10	0.14
77	0.10	0.15
66.6	0.09	0.14
52.6	0.10	0.15
31.7	0.10	0.17
27	0.10	0.19
20.8	0.10	0.19
17.2	0.11	0.22
12.5	0.13	0.30
9.09	0.23	0.30
6.6	0.23	0.30
5.4	0.26	0.35
3.1	0.26	0.35-0.42
2	0.28	0.35-0.41
1.25	0.13-0.31	0.09-0.37
0.625	0.09-0.31	0.09-0.37

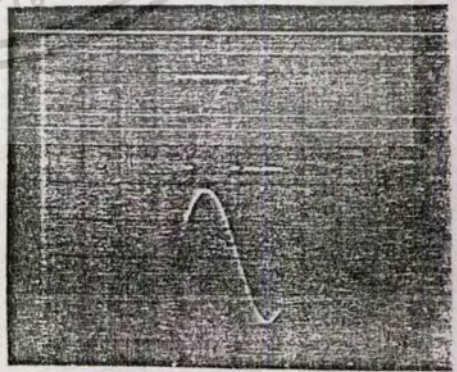
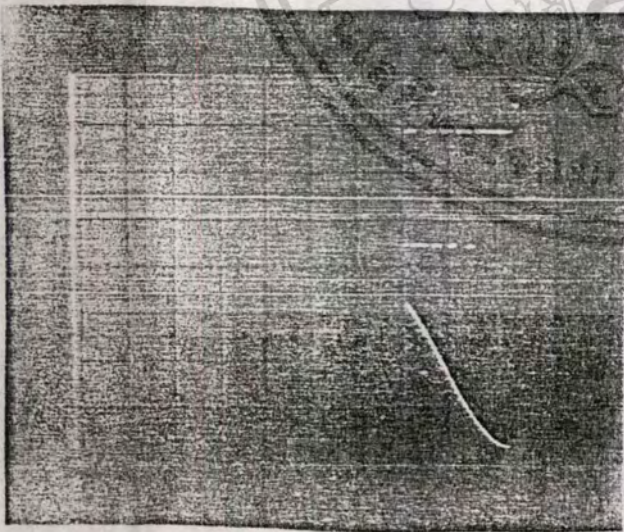
$V_{supply} = 100 \text{ v}; f \text{ ของขุด start} = 200\text{Hz};$

$f \text{ ของขุด run} = 250 \text{ Hz}$

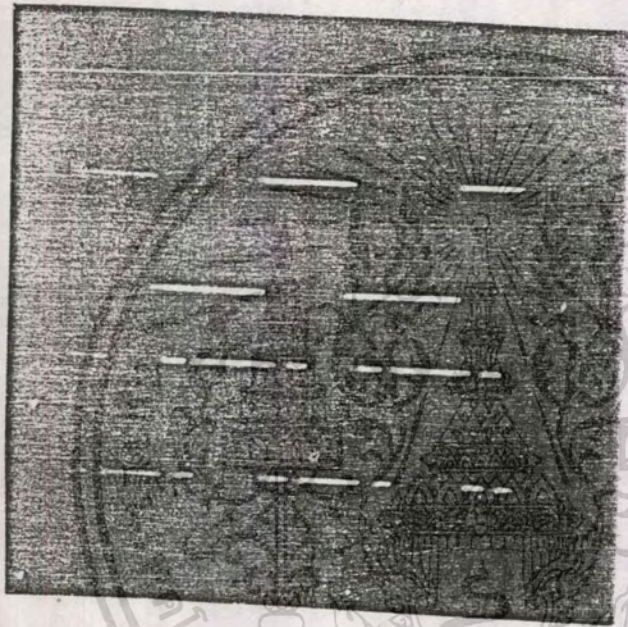
เอกสารนี้เป็นเอกสารที่สงวนไว้สำหรับการใช้งานเพื่อการศึกษาเท่านั้น ไม่อนุญาตให้นำไปใช้ประโยชน์ด้านการค้า
ไม่ว่ากรณีใดๆทั้งสิ้น อีกทั้งห้ามมิให้ตัดแปลงเนื้อหา และต้องอ้างอิงถึงเจ้าของเอกสารทุกครั้งที่มีการนำไปใช้



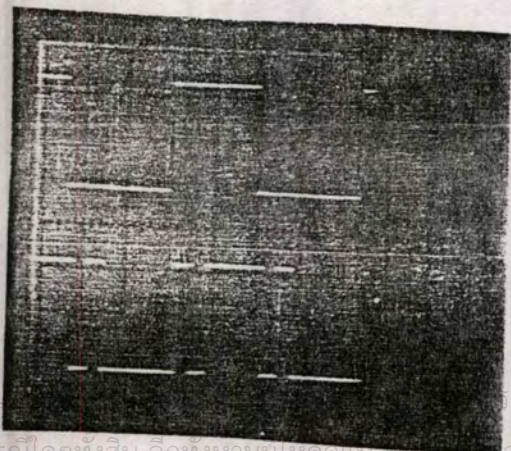
รูปที่ 1 แสดงรูปคลื่น sine wave จาก oscillator พร้อมทั้ง sine wave ที่ม้วน
 เลื่อนไป 90°



เอกสารนี้เป็นเอกสารที่สงวนไว้สำหรับครูใช้งานเพื่อการศึกษาเท่านั้น ไม่นอนุญาตให้นำไปใช้ประโยชน์ด้านการค้า
 รูปที่ 2 และ 3 แสดงการเปรียบเทียบระหว่างคลื่น sine wave และ PWM
 ไม่มีการผิดเพี้ยนใด ๆ ทั้งสิ้น อีกทั้งห้ามมิให้ดัดแปลงเนื้อหา และต้องอ้างอิงถึงเจ้าของเอกสารทุกครั้งที่มีการนำไปใช้



รูปที่ 4 และ 5 แสดงถึงคลื่น pwm ระหว่างขด run และ ขด start



เอกสารนี้... ศึกษาเท่านั้น ไม่อนุญาตให้นำไปใช้ประโยชน์ด้านการค้า
ไม่ว่ากรณีใดๆทั้งสิ้น อีกทั้งห้ามเผยแพร่โดยไม่ได้รับอนุญาต และต้องอ้างอิงถึงเจ้าของเอกสารทุกครั้งที่มีการนำไปใช้

สรุปและวิเคราะห์ผลของโครงการ

1. จากการศึกษาวิจัยในภาคแรกพบว่าวงจร RC Phaseshifter แบบแรกที่ยังไม่ใส่ชุด INITIAL CONDITON จะมี ระดับแรงดันเอาท์พุท ไม่คงที่ ที่ระดับความถี่ต่ำ จะมีขนาดเล็ก ที่ระดับความถี่กลาง ราว 30-60 HZ จะมีขนาดสูง และความถี่ช่วงสูงกว่านี้จะมีขนาดลดลง ยากแก่การนำไปใช้งาน ดังนั้นจึงต่อชุด INITIAL CONDITON เข้าไป ระดับแรงดันก็มีการเปลี่ยนแปลง แต่เล็กน้อยกว่าแบบแรกมาก ทั้งนี้เพราะว่าถ้าขนาดแรงดันไม่คงที่ การควบคุม PULSE WIDTH MODULATION เพื่อให้ระดับจำนวน PULSE ที่ต้องการมีความยุ่งยาก

2. การสร้างสัญญาณ PULSE WIDTH MODULATION เพื่อใช้กับวงจรขยายแบบสวิตช์นั้น มีผู้สนใจการศึกษาวิจัยกันมากแต่ส่วนมากจะสร้างโดยสร้างวงจรถ้าเนิดสัญญาณรูปไซน์และวงจรถ้าเนิดสัญญาณรูปสามเหลี่ยม และนำสัญญาณทั้ง 2 มาเปรียบเทียบกัน ซึ่งจะได้สัญญาณ PLUM ออกมา แต่วงจรที่นำมาใช้งานนี้เป็นวงจรซึ่งใช้ OP-AMP เพียงตัวเดียว โดยอาศัยหลักการต่าง ๆ เช่นเดียวกับวิธีการเบื้องต้น แต่มีปัญหาระดับที่ว่าการปรับความสมดุลของช่วงพัลส์ได้ไม่สมบูรณ์ 100 %

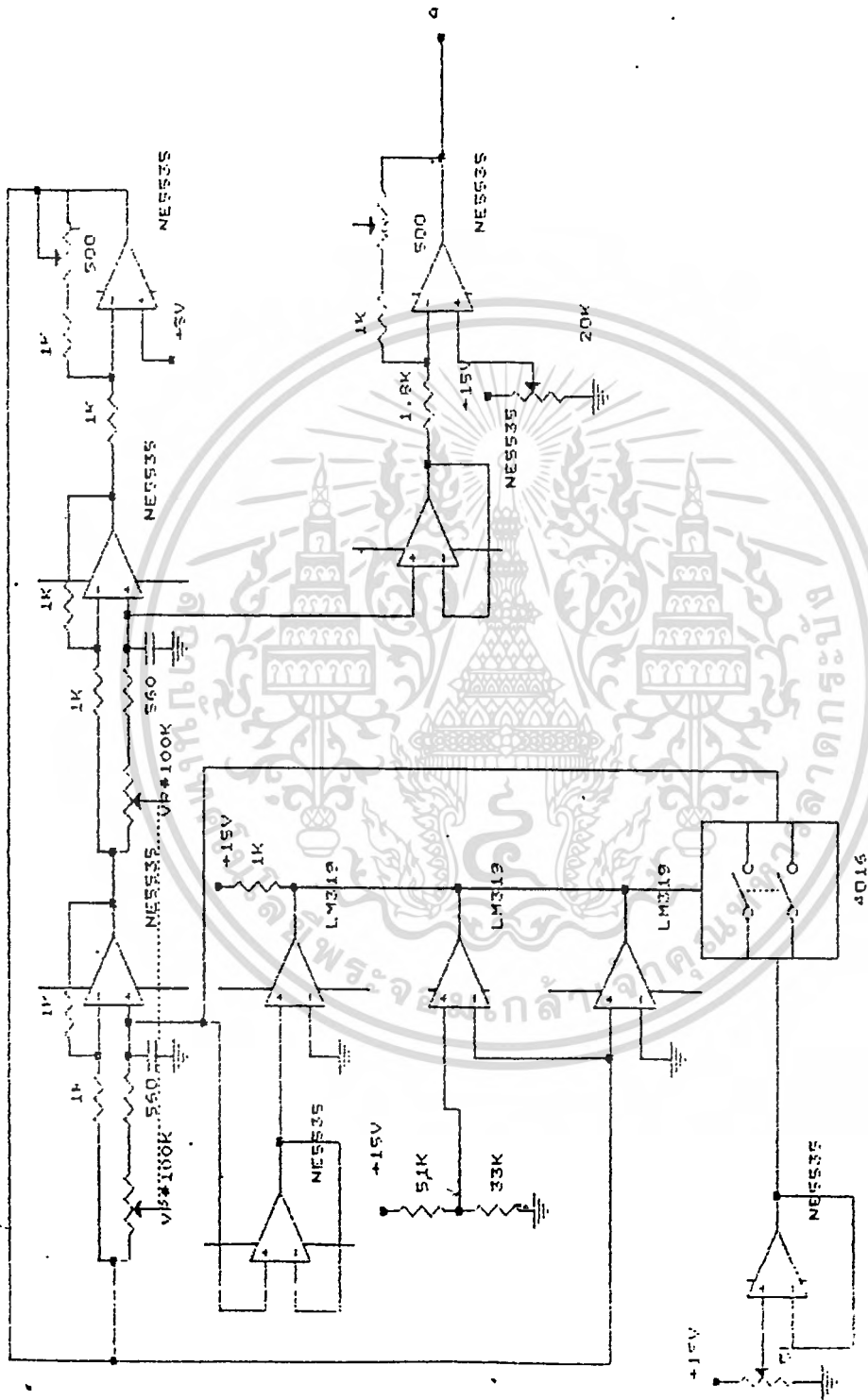
3. วงจร PROTECTION และ DRIVE ประกอบไปด้วย ป้องกันกระแสเกิน และป้องกันการ "ON" พร้อมกันของ POWER TRANSISTOR ผลที่ตามมาคือ POWER TRANSISTOR เสียหาย สำหรับภาคอินเวอเตอร์ โดยภาคทั่ว จะเป็น วงจร Drive กระแส เพื่อยับกระแสเบสของ Power Transistor ซึ่งผลในทางปฏิบัติจะควบคุมสัญญาณอินพุทให้ "ค่า" พร้อมกันยาก ผลจากการคำนวณเราสามารถใช้งานได้แต่เมื่อทดลองปฏิบัติบ่อยครั้งที่ Power transistor เสียหายจึงเปลี่ยนวงจร Drive เป็นแบบใช้ Mosfet ควบคุมแรงดันแทนกระแสสามารถลดปัญหาการ "ON" พร้อมกันได้ เพราะลักษณะการต่อภาค Drive มีการนำสัญญาณจาก Drive แรกมา LOCK ไม่ให้ ON และทำงานสลับกัน โอกาส "ON" พร้อมกันจึงไม่มี

4. ภาคแสดงผล ที่นำมาใช้คือวงจร F to V และนำแรงดันที่ได้ต่อกับ DVM ซึ่งผลที่ได้เป็นที่น่าพอใจ แต่เนื่องจากภาค F to V นั้นใช้งานที่ความถี่ต่ำๆ จะเกิด Ripple ภาคแสดงผลจึงแสดง error แต่เพียงเล็กน้อย

เอกสารนี้เป็นเอกสารที่สงวนไว้สำหรับการใช้งานเพื่อการศึกษาเท่านั้น ไม่นิยมนำไปเผยแพร่โดยไม่ได้รับอนุญาต
ไม่ว่ากรณีใดๆทั้งสิ้น อีกทั้งห้ามเผยแพร่ต่อผู้อื่น และต้องอยู่ใต้อาณัติของเอกสารทุกครั้งที่มีการนำไปใช้

หนังสืออ้างอิง

1. Protection and Switching-Aid Networks for Transistor Bridge Inverter, IEEE TRANSACTIONS ON INDUSTRIAL ELECTRONIC, VOL IE-33, NO. 2, MAY 1986.
2. RC Phase-Shifter Variable Sinusoidal Oscillators Using Initial Conditions-Restoration Amplitude Control, IEEE TRANSACTIONS ON INSTRUMENTATION AND MEASUREMENT, VOL 39, NO. 6 DECEMBER 1990.
3. Power Electronic, MUHAMMED RASHID.



เอกสารนี้เป็นเอกสารที่สงวนไว้สำหรับการใช้งานเพื่อการศึกษาเท่านั้น ไม่อนุญาตให้นำไปใช้ประโยชน์ด้านการค้า
ไม่ว่ากรณีใดๆทั้งสิ้น อีกทั้งห้ามมิให้ตัดแปลงเนื้อหา และต้องอ้างอิงถึงเจ้าของเอกสารทุกครั้งที่มีการนำไปใช้

การนำไปใช้งานม็อด ๒ กรณี

กรณี ๑ ถ้านำไปใช้กับมอเตอร์แบบเฟสเดียว (SINGLE PHASE MOTOR) ก็สามารถควบคุมความเร็ว ได้จำนวน ๒ เครื่อง พร้อม ๆ กัน แต่ต้องปรับ CARRIER ของ PWM1 และ PWM2 ใหม่ ให้เหมาะสมกับมอเตอร์ที่จะนำมาต่อทั้ง PHASE1 และ PHASE2

กรณี ๒ ถ้าเป็นมอเตอร์เฟสเดียวที่ทำการแยกขดระหว่างขด RUN และ ขด START แล้วสามารถควบคุมความเร็วเป็นแบบ TWO-PHASE DRIVE ได้โดยการตั้ง CARRIER ในภาค PWM1 และ PWM2 ที่แตกต่างกันขึ้นอยู่กับ RATIO ที่คิดได้จากมอเตอร์ตัวนั้นจากขด RUN และ ขด START จากเครื่องที่ใช้อยู่ขณะนี้ เราตั้ง CARRIER ที่ PWM1 ที่ป้อนแก่ขด RUN (PHASE1 ต่อสายสีแดง) ด้วยความถี่ 166.67 Hz ตั้ง CARRIER ที่ PWM2 ที่ป้อนแก่ขด START (PHASE2 ต่อสายสีดำ) ด้วยความถี่ 250 Hz

หมายเหตุ จะต้องต่อสายให้ถูกต้อง ตาม PHASE ที่กำหนด

จุด TEST POINTS

จุด TEST POINT มีทั้งหมด 5 จุด อยู่ที่หน้าปัดเครื่อง ตามลำดับดังต่อไปนี้

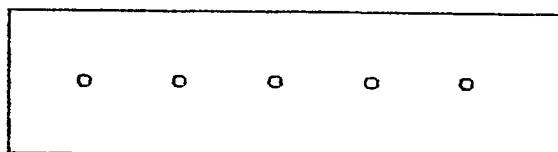
TP.1 COMMON (GROUND)

TP.2 SINEWAVE 0 (NONSHIFT)

TP.3 SINEWAVE 90 (SHIFT)

TP.4 PWM1 (OUTPUT)

TP.5 PWM2 (OUTPUT)



TP.1 TP.2 TP.3 TP.4 TP.5

เอกสารนี้เป็นเอกสารที่สงวนไว้สำหรับการใช้งานเพื่อการศึกษาเท่านั้น ไม่อนุญาตให้นำไปใช้ประโยชน์ด้านการค้า
ไม่ว่ากรณีใดๆทั้งสิ้น อีกทั้งห้ามมิให้ตัดแปลงเนื้อหา และต้องอ้างอิงถึงเจ้าของเอกสารทุกครั้งที่มีการนำไปใช้

การแสดงผลภาวะกรณีที่เครื่องไม่ทำงาน

1. ที่ชุด DRIVE จะมี LED แสดงสภาวะการทำงานของชุด DRIVE แต่ละชุด ถ้ามี LED ตัวใดดับ ก็แสดงว่า MOSFET ตัวนั้นเสีย
2. ที่ด้านข้างกล่องมี FUSE 2 Amp. อยู่ 2 ตัว เพื่อคอยป้องกันการไหลของกระแสที่ผ่านตัว MOSFET แต่ละตัวไม่ให้เกิดที่กำหนด
3. นอกจากจะมี FUSE แล้วยังมีวงจร PROTECTION เพื่อตัดไฟเลี้ยงมอเตอร์เมื่อกระแสเกินจากที่กำหนดไว้ (กำหนดไว้ 1.8Amp.) เมื่อมีกระแสไหลเกิน RELAY ก็จะตัดไฟเลี้ยงออก LED (PROTECT) จะติด เครื่องจะทำงานได้ใหม่ก็ต่อเมื่อมีการกด SW.RESET เท่านั้น

ขั้นตอนการนำไปใช้งาน

1. เปิด SW.POWER ที่หน้าปัด
2. กดปุ่ม RESET เพื่อให้ LED PROTECT ดับ ถ้า LED PROTECT ไม่ติด ก็ไม่ต้องกด RESET
3. ตั้งปุ่มปรับ SPEED ไว้ในตำแหน่งที่ MARK (เป็นจุดที่มอเตอร์เริ่มหมุนที่ความเร็วรอบต่ำ)
4. ปรับ SUPPLY ไฟสูง (VARIABLE TRANSFORMER) ไว้ที่ช่วง 30-40 Vac
5. ให้สังเกตว่ามอเตอร์เริ่มหมุนจากนั้นก็ปรับปุ่ม SPEED เพิ่มขึ้นทีละน้อย เพื่อเพิ่มความเร็วที่มอเตอร์ หมายเหตุ การปรับปุ่ม SPEED จะต้องเพิ่มทีละน้อยเพราะว่า การตอบสนองของมอเตอร์จะช้าจะต้องรอรอบของมอเตอร์ก่อนที่จะมีการปรับ SPEED เพิ่มขึ้น
6. การกลับทางหมุนนั้นทำได้โดยลดแรงดันที่ VARIABLE TRANSFORMER ให้เป็น 0Vac ก่อนจึงโยก SW.DIRECTION จากนั้นกระทำตามขั้นตอนที่ 3, 4, 5